



ژئوشیمی و خاستگاه کانسار اکسید آهن آپاتیتدار سرخه دیزج،

جنوب خاوری زنجان

قاسم نباتیان^۱، مجید قادری^۱، نعمت‌اله رشیدنژاد عمران^۱، فرحناز دلیران^۲

۱ - بخش زمین‌شناسی، دانشگاه تربیت مدرس، تهران، ایران

۲ - مؤسسه علوم زمین کاربردی، دانشگاه کارلسروهه، کارلسروهه، آلمان

دریافت مقاله: ۱۳۸۸/۲/۲۵، نسخه نهایی: ۱۳۸۸/۵/۷

چکیده

کانسار اکسید آهن آپاتیتدار سرخه دیزج در ۳۲ کیلومتری جنوب خاوری زنجان قرار گرفته است. این محدوده در پهنه ساختاری البرز باختری- آذربایجان و در زیرپهنه طارم قرار دارد. در محدوده سرخه دیزج، قدیمی‌ترین واحدهای سنگی با تراکیت- تراکی آندزیست، الیوین بازالت و سنگهای آذرآواری توف برش و لایلی توف مربوط به ائوسن می‌باشد که توده نفوذی نیمه عمیق کوارتزمونزونیتی، مونزونیتی و گرانیتی با سن ائوسن پایانی- الیگومن آغازین در این توالی نفوذ کرده است. توده نفوذی نیمه عمیق منطقه، ویژگیهای گرانیت نوع I را دارد و ماقمایتیسم منطقه، مشخصات نوع کوهزایی و مربوط به قوهای ماگمایی را نشان می‌دهد. کانه‌زایی در این منطقه، عمدتاً در سه بخش (A، B و C) بروزد یافته است که در سنگ میزان توده نفوذی نیمه عمیق تشکیل شده‌اند. ویژگیهای مربوط به این سه بخش از نظر سنگ میزان، کانی‌شناسی، دگرسانی، ساخت و بافت و محتوای فلزی مشابه است. در داخل سنگهای آتش‌شکنی نیز کانه‌زایی به صورت رگه‌ای و با وسعت کم مشاهده می‌شود که ویژگیهای مشابه با سه بخش قبلی را دارد. ماده معدنی به شکل رگه‌ای بوده و بافت کانسنگ‌ها از نوع داربستی، توده‌ای، نواری، برشی و رگه- رگچه‌ای است. مهمترین کانیهای موجود در این کانسار شامل مگنتیت (با Ti پایین) و آپاتیت بوده که به مقدار کم، کانیهای سولفیدی از جمله کالکوپیریت، بورنیت و پیریت همراه آنها می‌باشد. کانیهای از جمله ایلمنیت، اسپینل (مگنتیت تیتان‌دار)، گالن و اسفالریت به مقدار جزئی به همراه کانیهای قبلی تشکیل شده‌اند. کانیهای سوبرژن از جمله کالکوسبیت، مالاکیت، آزوریت، کوولیت، هماتیت و گوتیت در اثر فرآیندهای هوازدگی و سوبرژن تشکیل شده‌اند. دگرسانیهای فلدسپات پتاسیم، اکتینولیتی، آرژیلیک، سریسیتی، سیلیسی، تورمالینی و کلریتی- اپیدوتی از دگرسانیهای اصلی در این کانسار هستند که وسعت دگرسانی سیلیسی و آرژیلیک از سایر دگرسانیها بیشتر است. مطالعات انجام شده بر روی عنصر نادر خاکی، بیانگر غنی‌شدگی این کانسار از عناصر نادر خاکی سبک (REE) نسبت به عناصر نادر خاکی سنگین (HREE) است. الگوی REE آپاتیت، مگنتیت و سنگهای دربرگیرنده، مشابه هم بوده و ارتباط ماگمایی را بین آنها نشان می‌دهد. همچنین محتوای REE آپاتیت نسبت به سنگهای دربرگیرنده و مگنتیت بالاتر است. در مطالعات سیالات درگیر از کانی آپاتیت که دارای دو نسل است، استفاده شد. مطالعه ویژگیهای کانسار اکسید آهن آپاتیتدار سرخه دیزج، بیانگر تشکیل این کانسار از سیالات ماگمایی غنی از Fe و P می‌باشد. مقایسه مهمترین ویژگیهای کانسار اکسید آهن آپاتیتدار سرخه دیزج (از جمله محیط تکتونیکی، سنگ میزان، کانی‌شناسی، دگرسانی، ساخت و بافت و زئوشیمی) با ویژگیهای تیپ‌های مختلف کانه‌زایی آهن در دنیا، نشان داده است که کانسار اکسید آهن آپاتیتدار سرخه دیزج بیشترین شباهت را با کانسارات اکسید آهن آپاتیتدار تیپ کایروندا دارد که این کانسارات زیرگروه کانسارات تیپ اکسید آهن- مس- طلای هیدروترمال (IOCG) می‌باشند.

واژه‌های کلیدی: کانسار اکسید آهن آپاتیتدار، توده نفوذی نیمه عمیق، کانسارات تیپ IOCG زیرگروه تیپ کایروندا، سرخه دیزج، طارم، زنجان.

کانسارها را باید به فاز ماقمایی (از نوع نفوذی) پس از فاز آتشفشنایی که سنگهای سازند ریزو و دزو را به وجود آورده، نسبت داد.

ناحیه متالوژنی بافق در ایران مرکزی، ذخایر آهن آپاتیت‌دار تیپ کایرونما که به عنوان رده جهانی (World-class) تیپ کایرونما (Kiruna type) معروف هستند، سنگهای ماقمایی غنی از آپاتیت که به نام آپاتیت (Apatitite) معروف است، [۲] ذخایر REE, Th-U, Pb-Zn و اخیراً کانی‌زایی (Cu(Au) را شامل می‌شوند. این کانی‌زایی‌ها در ارتباط با رخدادهای ماقمایی درون قاره‌ای که همراه با ریفت شدگی ایران مرکزی در درون گندوانا (Gondwanaland) می‌باشد. فرآیندهای ماقمایی نیمه عمیق تا ولکانیکی در این منطقه همراه با ماقماتیسم Bimodal ریولیتها و بازالت‌های اسپیلیتی شده و فرآیند متاسوماتیسمی ناحیه‌ای می‌باشند. ذخایر آهن در بافق در درون سنگهای دگرسان شده ریولیتی قرار دارند. این ذخایر به طور عمده دارای مگنتیت تودهای فقیر از Ti-V-T. با مقدار جزئی هماتیت هستند که آپاتیت همراه آنهاست [۳].

کانی‌سازی آهن در پالئوزوئیک- تریاس پیشین پالئوزوئیک پسین از نظر کانی‌سازی آهن در ایران، در مقایسه با فاز پروتروزوئیک پسین- کامبرین پیشین کم‌مایه‌تر بوده، به طوری که تنها چند کانسار کوچک از جمله کانسار آهن کلات ناصر در شرق قائن در منطقه آهنگران، کانسار آهن و منگنز هنشک در منطقه دهبید فارس، کانسار آهن ظفرآباد در کردستان، کانسار آهن ماسوله با خاستگاه رسوی متعلق به پرمین و کانسار آهن ناحیه سنقر را در ایران می‌توان به این زمان نسبت داد.

کانی‌سازی آهن در مژوزوئیک

کانسارهای آهن این برهه زمانی، بیشتر در پهنه شمالی سندج- سیرجان شناخته شده‌اند. کانسارهای آهن، به طور عمده دارای خاستگاه آتشفشنانزاد و ماقمایی- اسکارنی هستند. از این کانسارها می‌توان به کانسارهای آهن منطقه همدان که شامل کانسارهای باباعلی، چنار بالا و گلالی (منطقه قروه)، کانسار آهن شمس‌آباد با سن کرتاسه پیشین در جنوب غربی اراک و همه کانسارهای آهن و منگنز محور ملایر اصفهان که در سنگهای کرتاسه جای دارند، اشاره کرد.

مقدمه

پراکنده‌گی کانسارهای آهن در ایران از لحاظ زمانی منحصر به دوره خاصی از تاریخ زمین‌ساختی نیست. با پیدایش و شکل‌گیری پوسته ایران در پروتروزوئیک پسین و عملکرد و ادامه فعالیتهای زمین‌ساختی- ماقمایی تاکنون، کانی‌سازی آهن به موازات آنها رخ داده است، به طوری که روند این کانی‌سازی را از زمان پروتروزوئیک پسین تا میوپلیوسن می‌توان پی‌گیری کرد. قابل توجه است که ذخایر آهن تشکیل شده در پروتروزوئیک پسین- کامبرین پیشین، نسبت به کانی‌زایی‌های دیگر نمود آشکارتری دارد [۱].

قربانی (۱۳۸۱)، فازهای فلزی‌زایی در ایران را به چهار فاز تقسیم کرده که در زیر به آنها اشاره شده است:

کانی‌سازی آهن در پروتروزوئیک پسین- کامبرین پیشین همگام با فاز ماقمایی پروتروزوئیک پسین، در بازه زمانی ۶۲۰ تا ۵۳۰ میلیون سال پیش که تا کامبرین پیشین ادامه باfte، تعداد قابل توجهی ذخیره آهن تشکیل شد. این ذخایر رابطه مستقیم یا غیرمستقیم با سنگهای ماقمایی و آتشفشنایی- رسوی این زمان دارند که در نقاط مختلف ایران آثار آنها را می‌توان دید.

کانسارهای آهن این زمان، از نظر پیدایش زمانی و منشأ به دو دسته تقسیم می‌شوند:

۱- کانسارهایی با خاستگاه آتشفشنایی و آتشفشنایی- رسوی متعلق به پروتروزوئیک پسین که گاه تا کامبرین پیشین ادامه می‌یابند که عبارتند از:

کانسارهای آتشفشنایی- رسوی ناحیه بافق (فاز اول کانی‌سازی در منطقه بافق) مانند کانسار آهن و منگنز ناریگان و بخش افقی کانسار آهن می‌شدون، کانسارهای آهن آتشفشنایی- رسوی محور سلطانیه- مهاباد، ذخایر آهن آتشفشنایی- رسوی در پیوند با سنگهای سری هرمز و آتشفشناهای وابسته در منطقه بندرعباس و جزایر جنوب‌شرقی آن و ذخایر آهن آتشفشنایی که آمیخته با سنگهای آتشفشنایی قره‌داش می‌باشند.

۲) کانسارهای آهن با خاستگاه ماقمایی: از این کانسارها به عنوان کانسارهایی با خاستگاه متاسوماتیسم نیز یاد شده است. این کانسارها در ناحیه بافق، سیرجان گل‌گهر یافت می‌شوند و بزرگترین ذخایر آهن ایران را تشکیل می‌دهند. در حقیقت این

غربی- آذربایجان، بهویژه در بخش آتشفشنای- نفوذی آن می‌تواند زمینه مناسی را برای اکتشاف چنین ذخایری در دیگر نواحی واحد زمین‌ساختی البرز غربی- آذربایجان فراهم آورد که از نظر آهن و آپاتیت و همچنین از نظر عناصر نادر خاکی ارزشمند است. در این مقاله، ویژگیهای ژئوشیمیایی و ژئر کانسار اکسید آهن آپاتیتدار سرخه‌دیزج مورد بررسی قرار گرفته است.

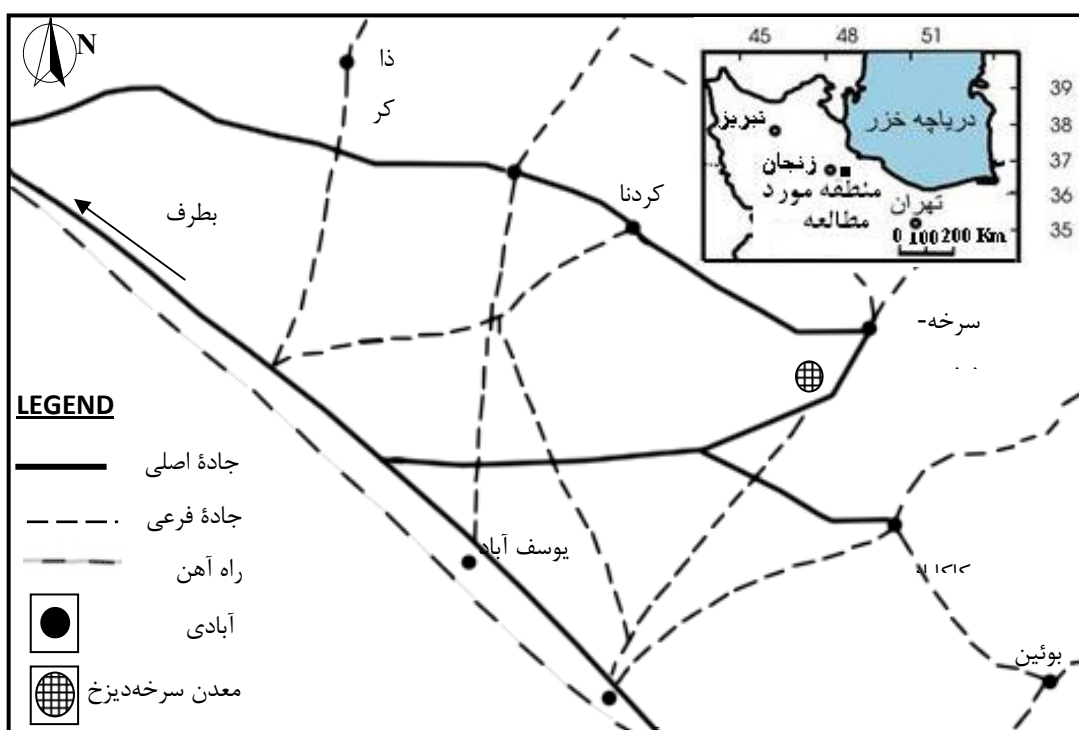
کانسار آهن سرخه‌دیزج در ۳۲ کیلومتری جنوب‌خاوری زنجان و در شمال‌خاوری آزادراه تهران- زنجان در ۲ کیلومتری جنوب‌باقتری روستای سرخه‌دیزج قرار گرفته است (شکل ۱). مختصات جغرافیایی معدن عبارت از ۴۸ درجه و ۵۰ دقیقه طول خاوری و ۳۶ درجه و ۳۵ دقیقه عرض شمالی است.

گستره مورد مطالعه در کمربند زمین‌شناسی- ساختاری البرز و زیرپهنه طارم قرار دارد و بر اساس تقسیم‌بندی نبوی (۱۳۵۵)، منطقه مورد مطالعه در پهنه البرز- آذربایجان قرار می‌گیرد که بی‌تردید ویژگیهای عمومی این پهنه را دارد.

کانی‌سازی آهن در ترشیاری

این کانسارها در پیوند با ماقمایتیسم ترشیاری با گسترش فراوان در ایران تشکیل شده‌اند. کانسارهای آهن ترشیاری از اوسن پیشین تا اوایل کواترنر قابل پی‌گیری است. کانسارهای این زمان، همگی دارای خاستگاه ماقمایی می‌باشند. این کانسارها پراکندگی زیادی نسبت به کانسارهای آهن فازهای قدیمی‌تر دارند، که علت آن، گسترش فراوان فعالیتهای آتشفشنای و پلوتونیسم این زمان است. از کانسارهای آهن این دوره زمانی می‌توان به کانسارهای آهن در زون ارومیه- دختر، کانسارهای آهن در شرق ایران و کانسار آهن ماقمایی در زون البرز اشاره کرد. در ارتباط با ماقمایتیسم الیگومیوسن در زون البرز غربی، تعدادی کانسار آهن تشکیل شده است که می‌توان به کانسارهای آهن سمنان در البرز شرقی، کانسارهای آهن سرخه‌دیزج و مرواریه در کوههای طارم اشاره کرد.

تاکنون وجود ذخایر اکسید آهن آپاتیتدار صرفاً در ایران مرکزی و به همراه سازند ساغند، سری ریزو و همارزهای آن گزارش شده است [۴]. شناخت چنین پتانسیلهایی در البرز



شکل ۱. موقعیت و راه دسترسی به معدن آهن سرخه‌دیزج، مقیاس ۱:۲۵۰۰۰

زمین‌شناسی

دامنه‌های پرشیب واریزه‌ها شکل گرفته است. مگنتیت و آپاتیت علاوه بر این که در متن سنگ دیده می‌شوند به صورت ادخال در داخل کانیهای، از جمله کانیهای پیروکسن، پلازیوکلاز و آلکالی فلدسپار وجود دارند (شکل ۴ الف، ب). علاوه بر این، کانی پیروکسن به همراه مگنتیت نیز به صورت ادخال در درون پلازیوکلاز دیده می‌شود (شکل ۴ پ). البته بلورهای آپاتیتی هم وجود دارد که کانیهای سنگساز از جمله پیروکسن و پلازیوکلاز را قطع کرده‌اند. در شکل ۴ ات وجود ادخالهایی از کانیهای مذکور نمایش داده شده است.

کانه‌زایی

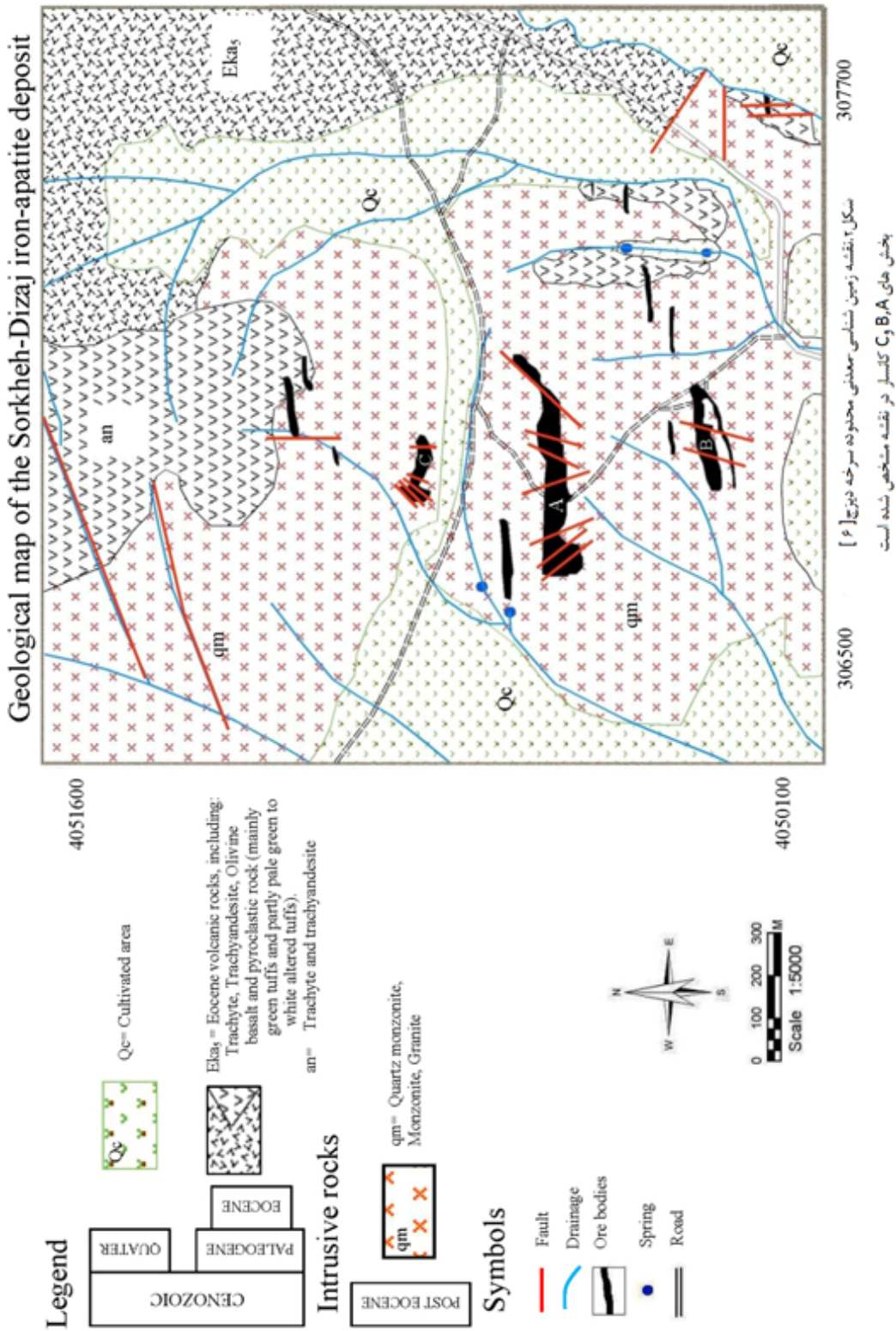
کانه‌زایی در این محدوده، بیشتر به صورت رگه‌ای، در داخل توده نفوذی نیمه عمیق و سنگهای آتشفسانی ائوسن (بخش آمند سازند کرج) روی داده است. ماده معنی در این منطقه از سیستم گسلی تبعیت کرده و کانه‌زایی در داخل پهنه‌های گسلی، و در قسمت فوقانی توده نفوذی نیمه عمیق رخ داده است. امتداد کانه‌زایی در کل محدوده معنی خاوری- باختری بوده که شبیه آن حدود ۴۵ تا ۵۰ درجه به سمت شمال، متمایل است. در واقع، در این منطقه یک سیستم گسلش یا شکستگی کانه‌دار وجود دارد.

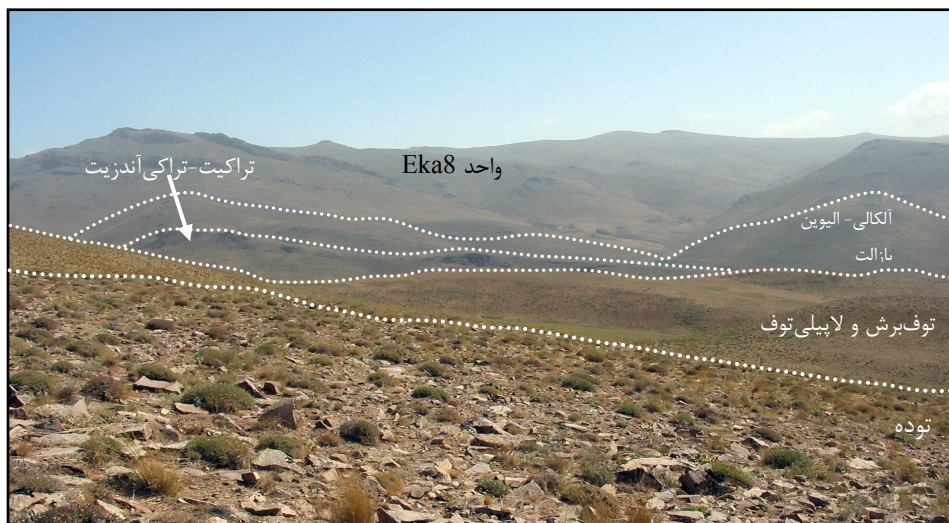
در محدوده مورد مطالعه، کانسنگ اکسید آهن آپاتیت‌دار، در سه نقطه یا در سه بخش روی داده است که از جنوب خاوری تا شمال باختری به ترتیب آنها را B، A و C می‌نامیم (شکل ۵). تمام ویژگیهای این سه بخش از لحاظ کانی‌شناسی، بافت و ساختی و دگرسانی شبیه به هم است. وسعت گسترش رگه معنی در این سه بخش متفاوت بوده، به طوری که ضخامت آنها از رگه- رگچه‌های در حد سانتی‌متر تا ۱۰ الی ۱۵ متر و طول آنها حداقل تا ۲۰۰ متر در تغییر است. همان‌گونه که در نقشه زمین‌شناسی- معنی ۱:۵۰۰۰ این محدوده مشاهده می‌شود، یک سری رگه‌های اکسید آهن آپاتیت‌دار با وسعت کمتر، با همان امتداد کانه‌زایی (خاوری- باختری)، بیشتر در داخل سنگهای آتشفسانی و آذرآواری ائوسن روی داده‌اند که از لحاظ کانی‌شناسی و ساخت و بافت شبیه بخش‌های قبلی کانسار است.

بر اساس نقشه ۱:۱۰۰۰۰ طارم [۵]، بخش اصلی رخنمونهای سنگی این ناحیه را نهشته‌های آذرآواری، جریانهای گدازه و لایه‌های رسوبی ائوسن تشکیل داده است. توده‌های نفوذی نیمه عمیق، با سن الیگوسن و یا جوانتر، سری ائوسن را قطع کرده‌اند. رسوبات ائوسن چین خورده‌اند و راستای محوری آنها شمال باختری- جنوب خاوری تا خاوری- باختری است.

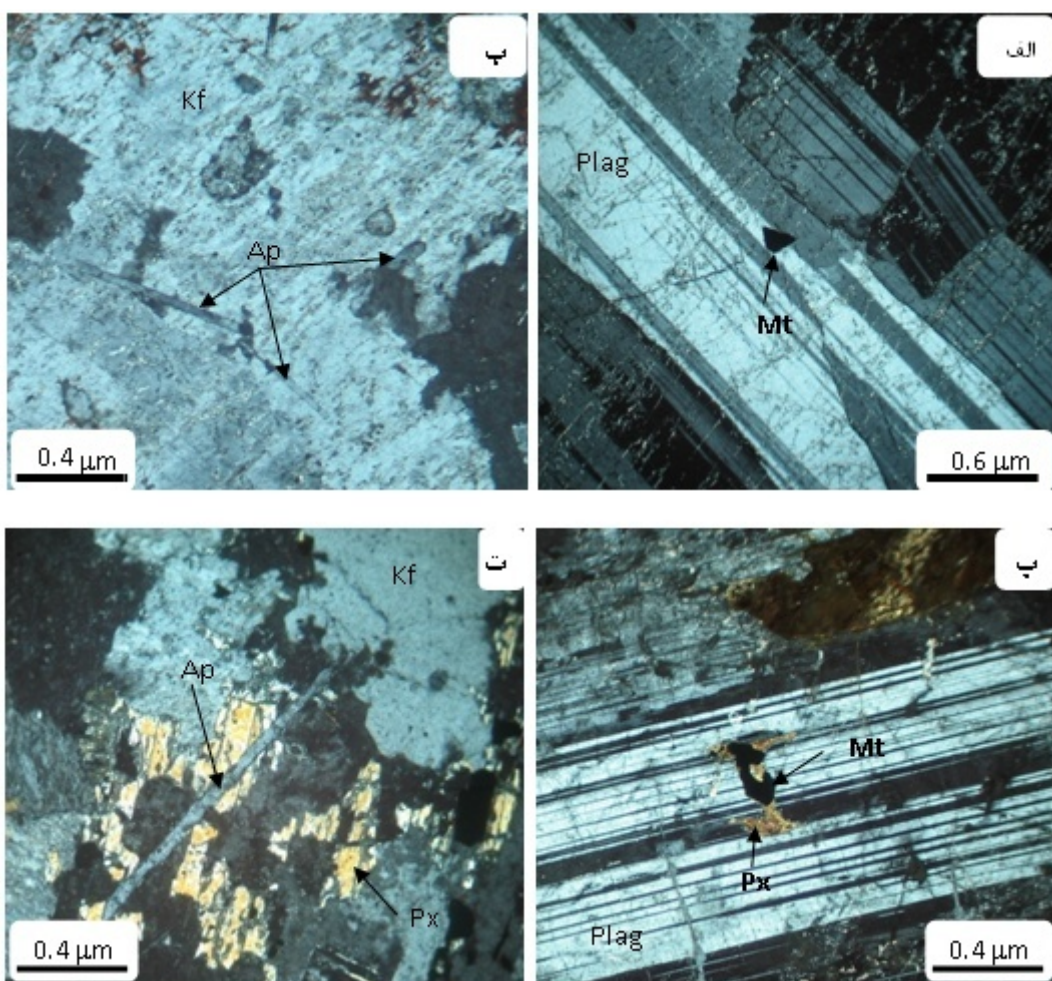
سری ائوسن رشته‌کوههای البرز در منطقه طارم، به دو عضو کردکند و آمند تقسیم شده است. عضو کردکند شامل واحدهای رسوبی- آتشفسانی ائوسن همارز با بخش‌های زیرین سازند کرج است. ترکیب سنگ‌شناسی آن مادستون، آذرآواری و گدازه فراوان است. بیشتر سنگهای آتشفسانی از نوع آندزیتی و ریولیتی بوده، در حالی که ترکیب بازالتی در آنها کم است. عضو آمند به طور عادی بر روی نهشته‌های کردکند قرار گرفته است. این عضو، برخلاف عضو کردکند، بیشتر از سنگهای آتشفسانی با ترکیب آندزیت، تراکیت، تراکی آندزیت، سنگهای آذرآواری و مقداری مادستون و ماسه‌سنگ تشکیل شده است. در منطقه معنی سرخه دیزج، سنگهای آتشفسانی ائوسن، واحد Eka5 از سری سنگهای آتشفسانی عضو آمند می‌باشدند (شکل ۲). این واحد دامنه ترکیب تراکیت- تراکی آندزیت، الیوین بازالت و سنگهای آذرآواری توف برش و لاپیلی توف دارد (شکل ۳) که توده نفوذی نیمه عمیق با ترکیب کوارتز و نزونیت، مونزونیت و گرانیت (ائوسن پایانی- الیگوسن) در آن نفوذ کرده است.

توده نفوذی نیمه عمیق بافت گرانولار دارد و کانیهای پلازیوکلاز شکل دار (آلبیت و الیگوکلاز)، فلدسپات آلکالن (بیشتر ارتوز آرژیلی شده)، کوارتز و کانیهای مافیک (شامل بیوتیت کلریتی شده و پیروکسن از نوع دیوبسید و اوژیت) کانیهای اصلی تشکیل‌دهنده سنگ هستند. مهمترین و بیشترین کانیهای فرعی این سنگ مگنتیت و آپاتیت بوده که به همراه کانیهای اصلی در پلازیوکلاز و پیروکسن، نشان دهنده غنی بودن ماقمای اولیه نسبت به عناصر مذکور است. نهشته‌های کواترنری در نتیجه فرسایش کوهها و به وسیله رودخانه‌ها و سیلابها به صورت پادگانه‌های آبرفتی و مخروط افکنه در کنار رودخانه‌ها و دامنه ارتفاعات تشکیل یافته و در

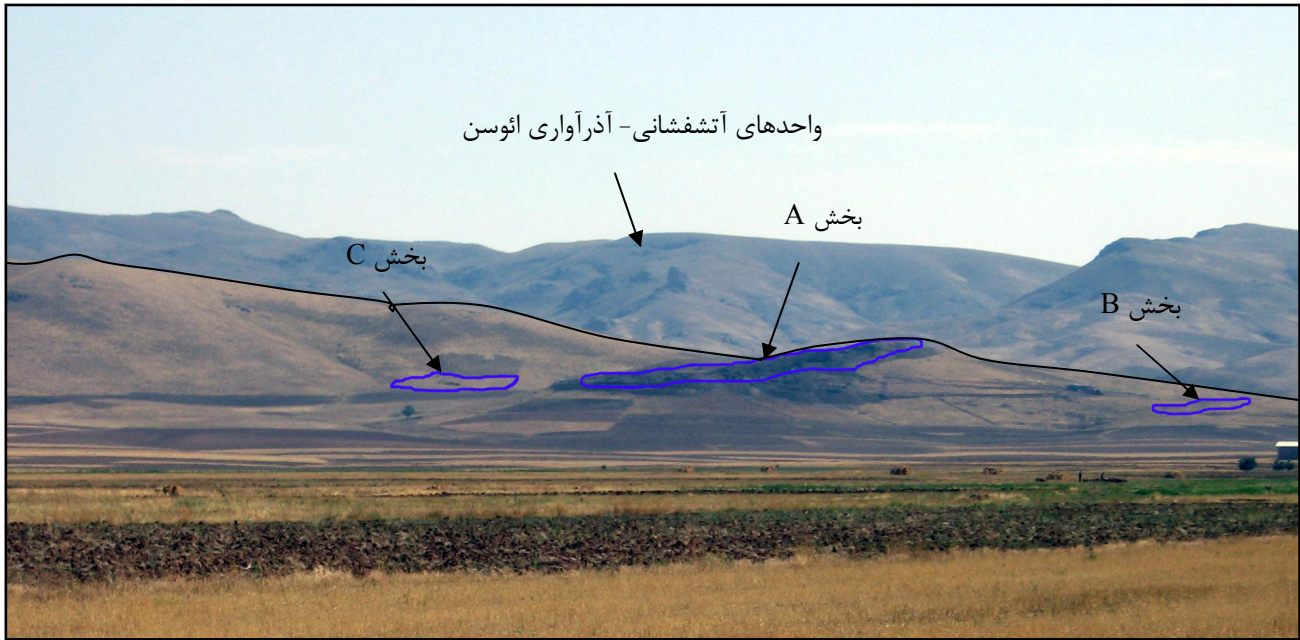




شکل ۳. دورنمایی از زیرواحدهای آذرآواری و آتشفسانی ائوسن در منطقه سرخه دیزج (دید به سوی شمال).



شکل ۴. ادخال کانی‌های مگنتیت، آپاتیت و پیروکسن در داخل کانی‌های سنگ ساز توده نفوذی نیمه عمیق (XPL).
 الف) ادخال مگنتیت (Mt) در پلاژیوکلاز (Plag); ب) ادخال آپاتیت (Ap) در آلاکالی فلدسپار (Kf); ج) ادخال مگنتیت (Mt) به همراه پیروکسن (Px) در پلاژیوکلاز (Plag); د) بلور آپاتیتی (Ap) که کانی پیروکسن (Px) و آلاکالی فلدسپلر (Kf) را قطع کرده است.



شکل ۵. نمایی از بخش‌های کانه‌زایی B، A و C در کانسار سرخه‌دیزج که در درون و قسمت بالایی توده نفوذی نیمه‌عمیق قرار داردند (دید به‌سوی شمال خاوری).

جمله پیریت، کالکوپیریت و بورنیت در این کانسار تشکیل شده است. پیریت فراوان‌ترین کانی سولفیدی در این کانسار به شمار می‌رود که به صورت بلورهای ریز و کوچک در داخل کانیهای مگنتیت و آپاتیت (شکل ۸) و نیز به صورت کانه‌زایی سولفیدی به همراه کانی کالکوپیریت و بورنیت (شکل ۹) و همچنین به صورت رگه- رگچه‌های سولفیدی، رگچه‌های سیلیسی و در مرحله آخر رگچه‌های کربناتی مجموعه کانه‌زایی اولیه را قطع کرده‌اند (شکل ۱۰). کانیهای سولفیدی در اثر فرآیندهای اکسیداسیون و سوپرژن به کانیهای ثانویه از جمله مالاکیت، آزوریت، کوولیت و کالکوسیت تبدیل شده‌اند. کانیهای سولفیدی گالن و اسفالریت نیز در حاشیه رگه‌های سولفیدی به وسیله آنالیز دستگاهی الکترون مایکروپرورب شناسایی شده‌اند.

از کانیهای گانگ در این کانسار می‌توان به اکتینولیت و پیروکسن و کوارتز اشاره کرد. اکتینولیت به صورت بلورهای سوزنی شکل و پر مانند در اثر فعالیت سیالات گرمابی جانشین کانی پیروکسن شده است (شکل ۱۱). این جانشینی در اکثر موارد در سطوح رخ و شکستگی‌های موجود در کانی پیروکسن صورت گرفته است. کانی کوارتز به صورت بلورهای ریز

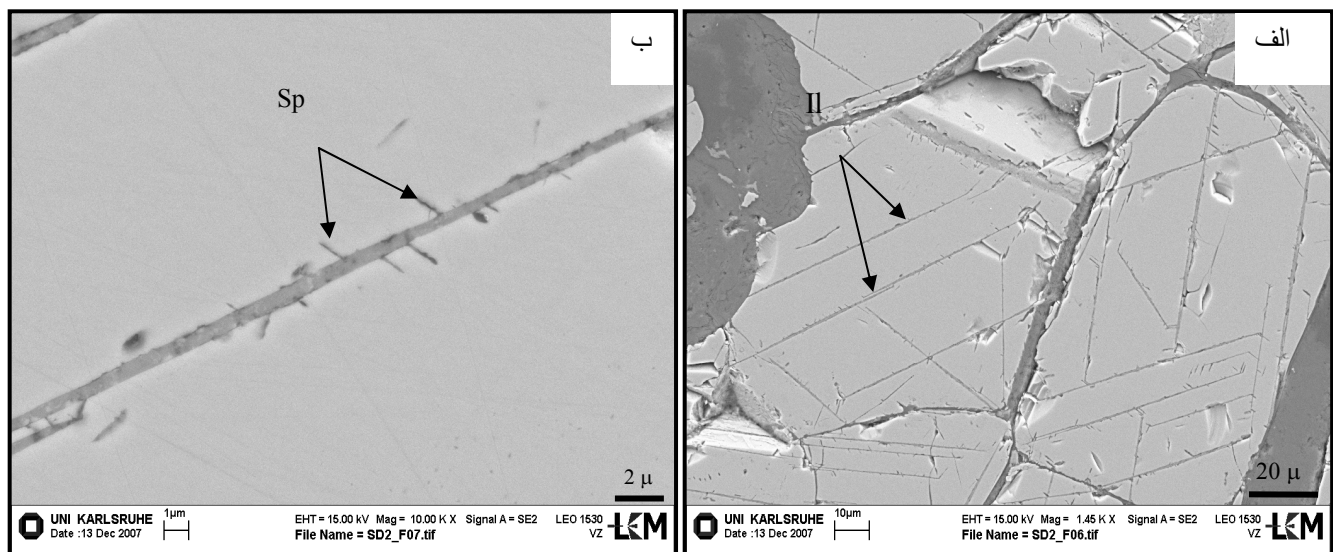
کانی‌شناسی و ساخت و بافت
براساس مطالعات انجام شده، کانیهای زیر در منطقه معدنی سرخه‌دیزج تشخیص داده شده است: مگنتیت، هماتیت، لیمونیت، گوتیت، لپیدوکروسیت، آپاتیت، پیریت، کالکوپیریت، بورنیت، کوولیت، کالکوسیت، مالاکیت، آزوریت و کانیهای عنصر نادر خاکی از جمله مونازیت، که همراه کانیهای گانگ پیروکسن، اکتینولیت، اپیدوت، کلریت، کوارتز و کلسیت مشاهده می‌شوند.

اصلی‌ترین و فراوان‌ترین کانه موجود در کانسار سرخه‌دیزج، مگنتیت است که همراه آپاتیت بخش عمده کانسار را تشکیل داده است. مطالعات آنالیز الکترون‌میکروپرورب (EPMA) حاکی از آن است که مگنتیتها دارای مقداری تیتان می‌باشند که وجود این مقدار از تیتان، باعث تشکیل اکسلوشن‌هایی از ایلمنیت و مگنتیت تیتان‌دار در داخل مگنتیت شده است (شکل ۶). آپاتیت موجود در این کانسار به صورت بلورهای درشت خودشکل تا پگماتیت‌وئیدی و ریز بی‌شکل تا شکل دار در متن مگنتیت و توده نفوذی نیمه‌عمیق دیده می‌شوند. کانی مونازیت یک کانی دارای عناصر نادر خاکی است که انکلوزیون در داخل بلورهای آپاتیت وجود دارد (شکل ۷).

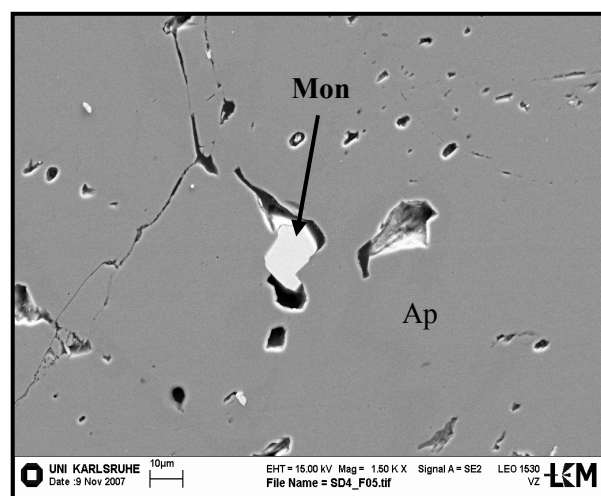
علاوه بر این کانیها، به مقدار کمی نیز کانیهای سولفیدی از

شده است.

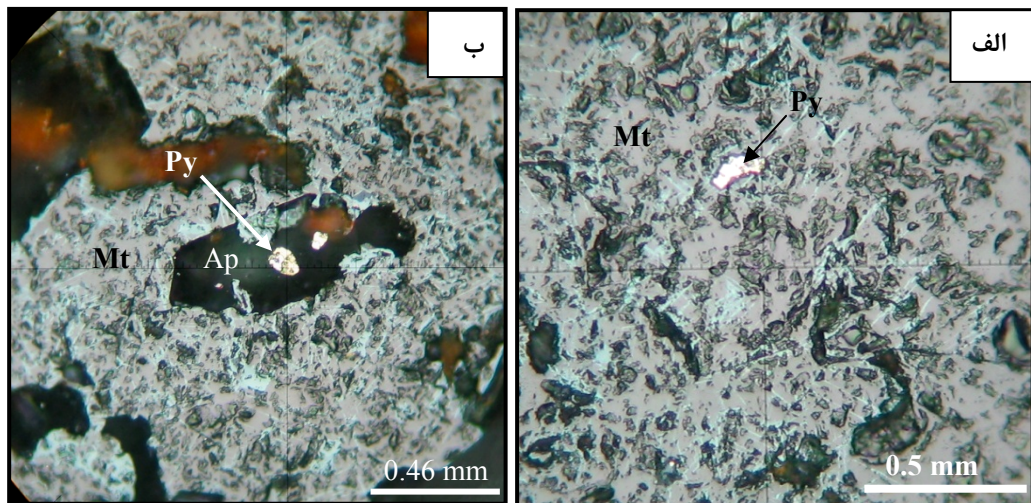
سوزنی شکل بوده که غالباً با کانی آپاتیت همراه است، ولی آن را قطع کرده و در بعضی جاهای به نظر می‌رسد که جانشین آن



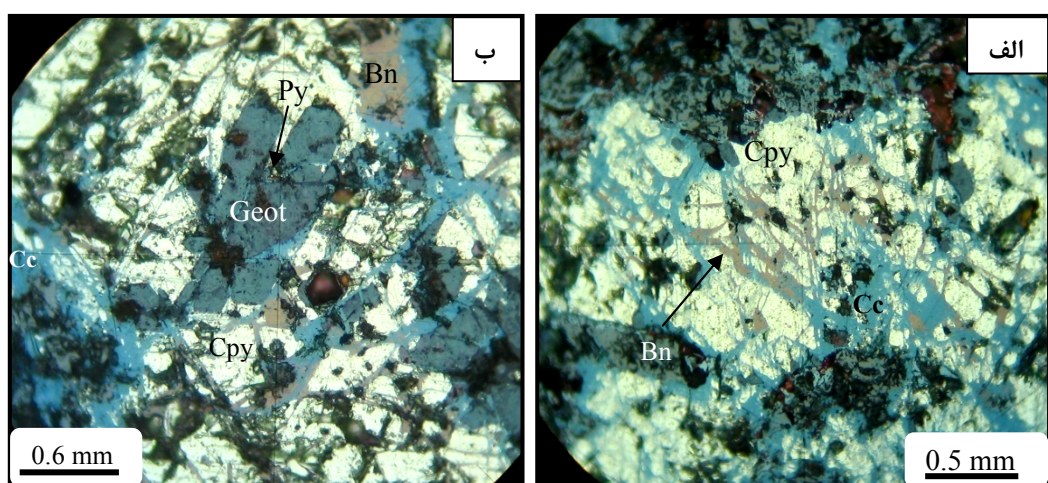
شکل ۶. الف) اکسلوشن ایلمنیت (II) در مگنتیت، ب) اکسلوشن مگنتیت تیتان دار (اسپینل (Sp)) در مگنتیت (تصاویر EPMA).



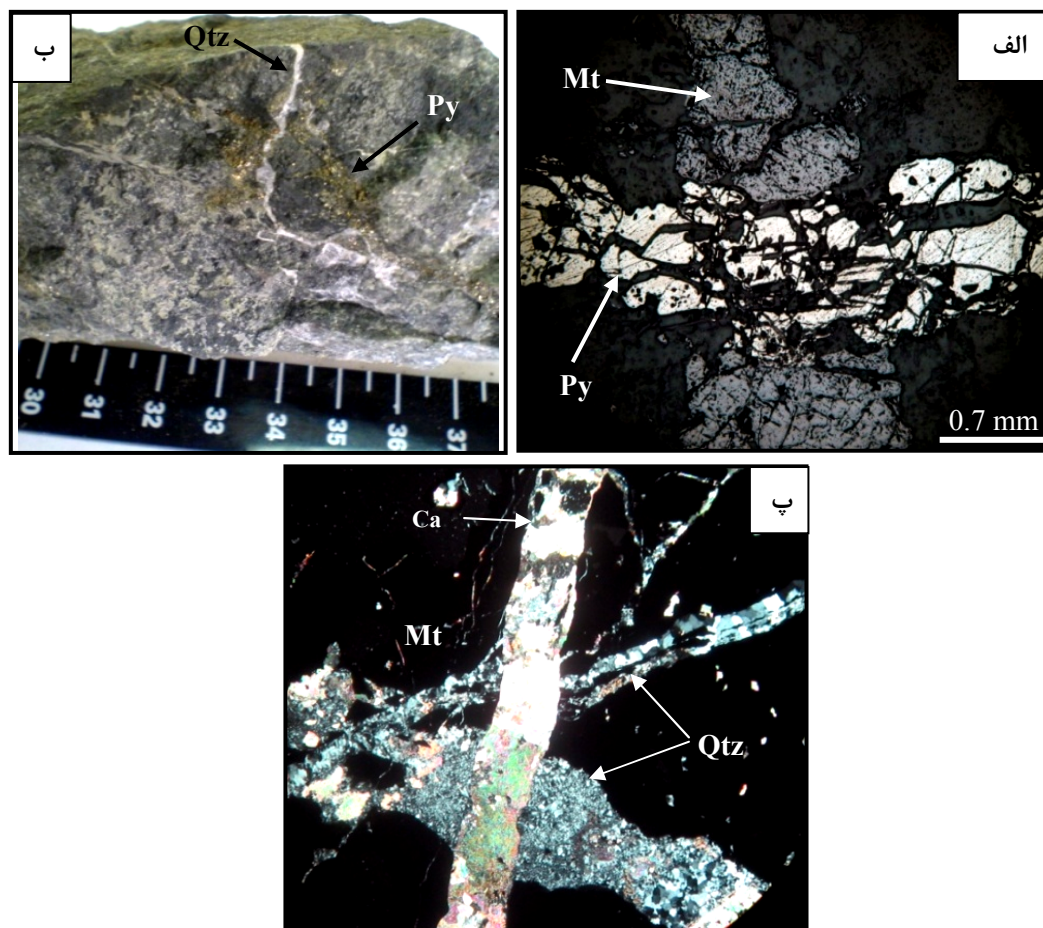
شکل ۷. بلور مونازیت (Mon) که به صورت درگیر در داخل آپاتیت (Ap) قرار دارد (تصویر EPMA).



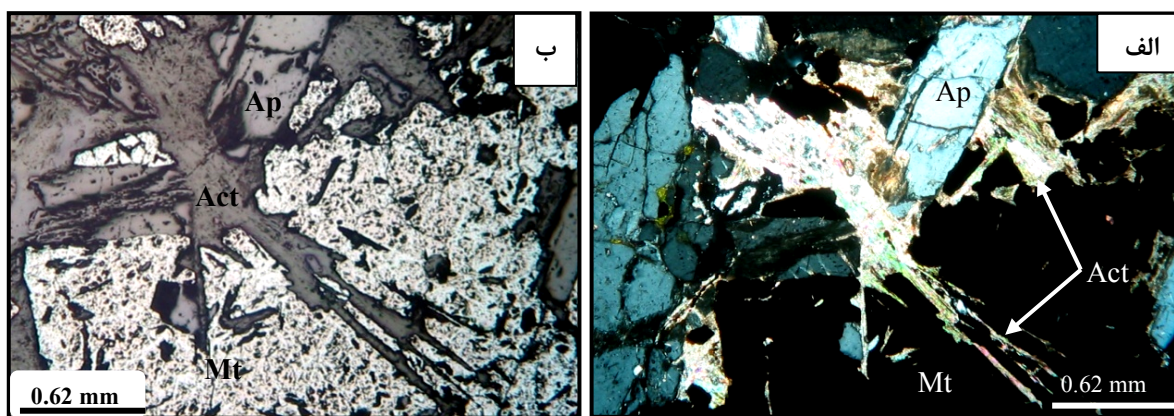
شکل ۸. الف) تصویر میکروسکوپی (PPL) پیریت (Py) موجود در داخل مگنتیت (Mt)، ب) تصویر میکروسکوپی از پیریت (Py) موجود در داخل آپاتیت (Ap)، Mt: مگنتیت (Mt).



شکل ۹. الف) کانی‌سازی سولفیدی در کانسار، که شامل کالکوپیریت (Cpy) و بورنیت (Bn) است. این دو کانی، بافت اکسلوشن تیغه‌ای را به وجود آورده‌اند و از اطراف به کالکوسیت (Cc) تبدیل شده‌اند (PPL)، ب) پیریت نسل دوم (Py) که همراه کانی‌های کالکوپیریت و بورنیت است. این پیریت‌ها اکثراً به گوتیت (Geot) تبدیل شده‌اند (PPL).



شکل ۱۰. الف) تصویر میکروسکوپی از رگچه سولفیدی نسل سوم (Py) که رگه مگنتیتی را قطع کرده است، (PPL);
ب) تصویر نمونه دستی از رگه سیلیسی تأخیری (Qtz) که رگه سولفیدی (Py) را قطع کرده است، پ) تصویر
میکروسکوپی از رگچه کربناتی (Ca) تأخیری که رگچه سیلیسی تأخیری (Qtz) را قطع کرده است (XPL).



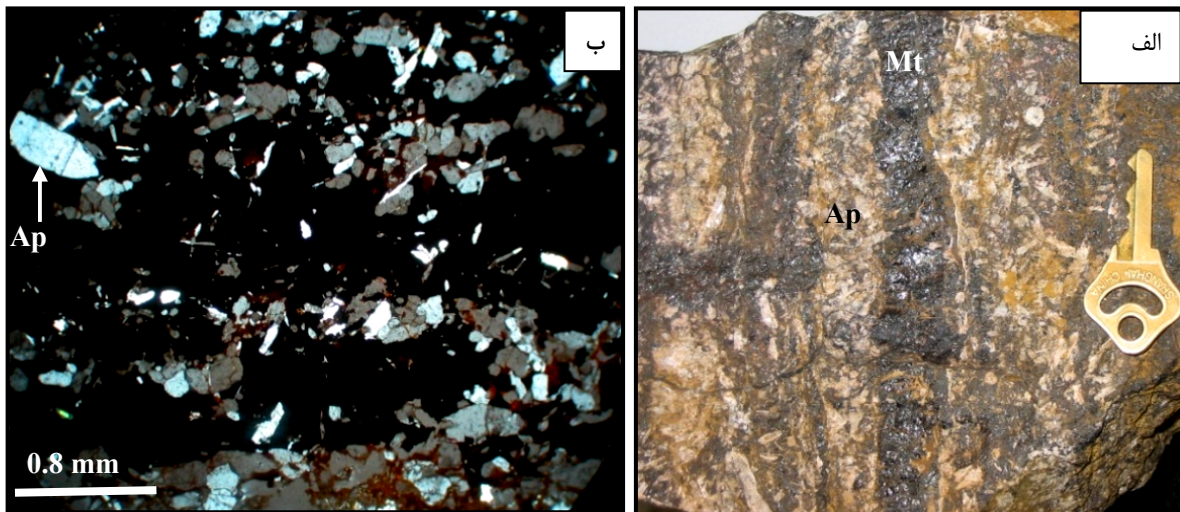
شکل ۱۱. الف) بلورهای سوزنی شکل اکتینولیت (Act) به رنگ سبز تا صورتی در مقطع میکروسکوپی، (PPL); ب) تصویر
(الف) در نور انعکاسی (XPL).

آپاتیت دار و در درون توده نفوذی نیمه عمیق، که به شدت دگرسان شده، دیده می شود (شکل ۱۳ الف).

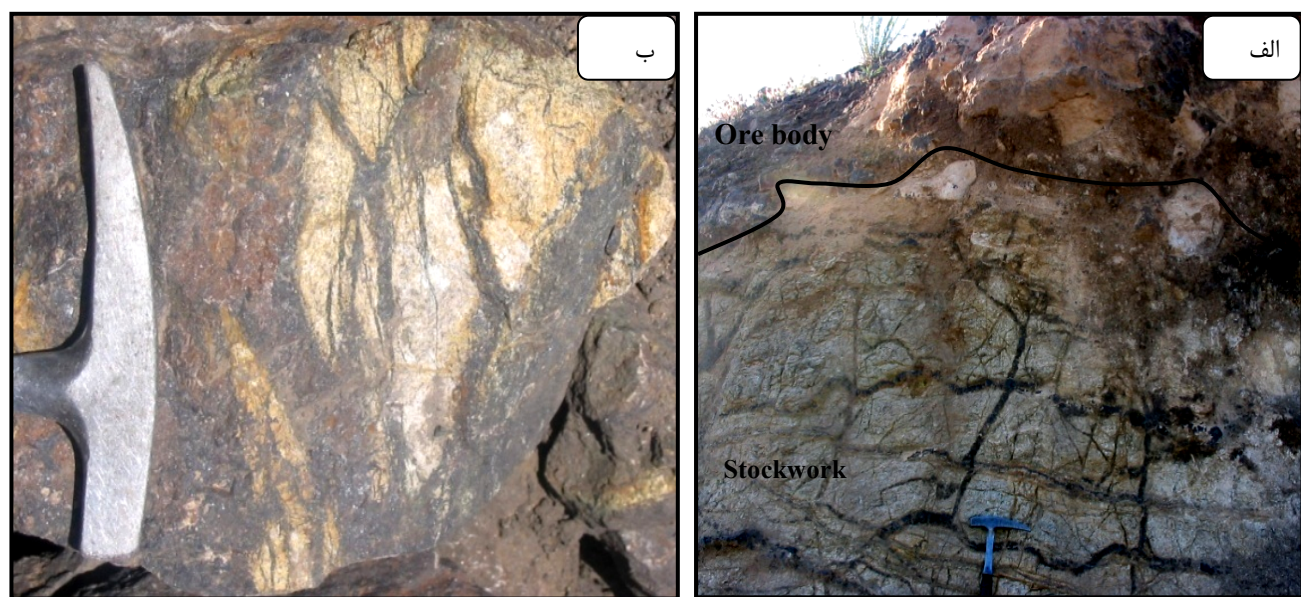
در درون رگه های تشکیل دهنده این ساخت و بافت، بافت نواری آپاتیت- مگنتیت به خوبی قابل مشاهده است.

یکی دیگر از بافت های موجود در کانسار اکسید آهن آپاتیت دار سرخه دیزج، بافت برشی (brecciated) می باشد که بیشتر در حاشیه کانی سازی کانسار دیده می شود. قطعات زاویه دار تا نیمه گرد شده از سنگ درونگیر توده نفوذی نیمه عمیق، در داخل متنی از مگنتیت به چشم می خورند (شکل ۱۳ ب). این قطعات به شدت دگرسان و توسط کانی های رسی، اپیدوت، کلریت و گاه به اکتینولیت جانشین شده اند.

نوارهای متناوب مگنتیت و آپاتیت - (Banded magnetite - apatite)، (شکل ۱۲) یکی از ساخت و بافت های معمول در کانسار سرخه دیزج است که بلورهای آپاتیت، خودشکل بوده و اندازه آنها از ریزبلور تا درشت بلور (از میلی متر تا چند سانتی متر) و نمونه های دستی تغییر می کند. این ساخت و بافت، در بخش رگه های و رگه های داربستی کانسار سرخه دیزج وجود دارد. ساخت و بافت توده ای (Massive)، قسمت اعظم کانی سازی را در کانسار سرخه دیزج تشکیل داده است. مگنتیت کانه اصلی بوده که همراه آن آپاتیت و مقداری جزئی پیریت (به صورت لکه هایی در داخل مگنتیت و آپاتیت) به همراه کالکوپیریت دیده می شود. ساخت و بافت داربستی (stockwork) در قسمت زیرین ماده معدنی اکسید آهن



شکل ۱۲. الف) بافت نواری مگنتیت (Mt)- آپاتیت (Ap) در نمونه دستی، ب) تصویر میکروسکوپی از نوارهای غنی از آپاتیت (Ap) در مگنتیت (Mt) است (XPL).



شکل ۱۳. الف) ساخت و بافت داربستی در بخش زیرین ماده معدنی و در درون توده نفوذی بهشدت آلتنه شده، ب) تصویر نمونه دستی از قسمت برشی شده سنگ درونگیر (روشن) با اندازه‌های متفاوت در داخل مگنتیت (تیره).

تبديل شدن پیروکسنهای به وجود آمده، گسترش محدودی دارد و در بلافصل ماده معدنی با توده نفوذی نیمه عمیق و همراه با مگنتیت دیده می‌شود.

روشهای مطالعه و آنالیز

مطالعات انجام گرفته شامل مطالعات صحرایی، پتروگرافی، XRD، کانه‌نگاری، آنالیز دستگاهی الکترون میکروپروروب، XRF ICP-MS و تهیه نقشه‌های ۱:۵۰۰۰ زمین‌شناسی-معدنی است. آنالیز دستگاهی به روش XRF در سازمان زمین‌شناسی و اکتشافات معدنی کشور، آنالیز دستگاهی به روش XRD در دانشگاه تربیت مدرس، آنالیز دستگاهی به روش ICP-MS در شرکت ALS-Chemex کانادا و آنالیز دستگاهی به وسیله الکترون میکروپروروب (EPMA)، در مؤسسه زمین‌شناسی دانشگاه کارلسروهه آلمان انجام شد. آنالیزهای انجام شده توسط دستگاه الکترون میکروپروروب، در شرایط پروروب 20 mA با ولتاژ 15.00 kV انجام گرفته است که مدل دستگاه نیز LEO 1530VZ می‌باشد.

دگرسانی

دگرسانیهای موجود در کانسار سرخه‌دیزج از نظم خاصی پیروی نمی‌کنند. ولی به طور کلی در زونهای کانه‌دار، دگرسانی به صورت گسترده و به شکل تقریباً حاشیه‌ای متقارن و باریک در اطراف ماده معدنی مشاهده می‌شود. دگرسانیهای موجود در این کانه‌زایی شامل فلدسپار پتاسیمی، اکتینولیتی، آرژیلی، سیلیسی، سریسیتی، کلربیتی-اپیدوتی و تورمالینی می‌باشد. از این میان، دگرسانیهای آرژیلی و سیلیسی بیشترین گسترش را در منطقه دارند. بخش اعظم دگرسانیهای تورمالینی و سیلیسی در سنگهای میزبان آتشفسانی منطقه روی داده است، بیشترین گسترش دگرسانی آرژیلیک در اطراف ماده معدنی بوده و با فاصله گرفتن از ماده معدنی از شدت این دگرسانی کم می‌شود. دگرسانیهای کلربیتی، اپیدوتی، فلدسپار پتاسیم و سریسیتی به مقدار کمی، نسبت به دیگر دگرسانیها، در اطراف رگه معدنی (در بعضی جاها) قابل مشاهده‌اند. در بعضی جاها نیز دگرسانی به حدی بوده که مسکویت (میکا-سریسیت) جانشین کانیهای پلاژیوکلاز و فلدسپات آلکالن شده است. دگرسانی اکتینولیتی، که در اثر تأثیر سیالات و

جايگاه شيميايی توده نفوذی

در ردهبندی شیمیایی سنگهای آذرین، درصد برخی از اکسیدهای اصلی موجود در ساختمان کانیها، از جمله اکسیدهای آلکالن ($\text{Na}_2\text{O}+\text{K}_2\text{O}$) که تشکیل دهنده ساختمان فلدوپاتها می باشند و SiO_2 که شرایط اسیدی و قلیایی سنگها به آن وابسته است، مورد توجه قرار می گیرند.

بر اساس مطالعات میکروسکوپی و روش ردهبندی کانیشناسی کمی (مدال)، توده نفوذی مورد نظر در محدوده کوارتزموزنونیت، مونزونونیت قرار گرفته است (شکل ۱۴).

تقسيم‌بندی ژنتيکي توده نفوذی

گرانیتها را از نظر منشأ به دو دسته تقسیم کرده‌اند [۴۵]. این دو دسته شامل گرانیتهاي نوع I و S می باشد. منشأ گرانیتهاي نوع S در پوسته قاره‌اي است، در صورتی که منشأ گرانیتهاي نوع I در خارج از پوسته قاره‌اي و نتيجه تفريق و تبلور يك مذاب گوشه‌اي می باشد. همچنان که از نمودار سه‌تايی AFC و نمودار دوتايی $\text{K}_2\text{O}+\text{Na}_2\text{O}$ مشخص است، تمام نمونه‌های برداشت شده از توده نفوذی نيمه عميق در محدوده گرانیتهاي تipe I قرار دارند (شکل ۱۵).

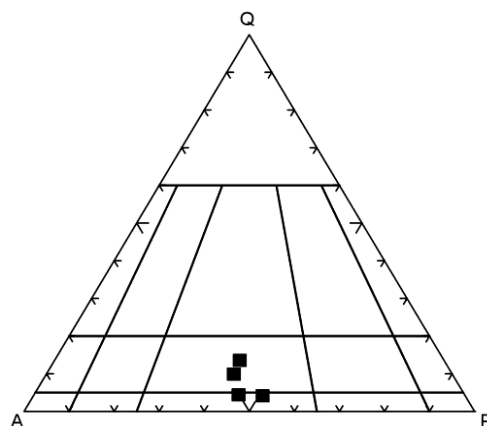
تعيین سري ماگماي

طبق نمودار دوتايی SiO_2 در مقابل مجموع آلکالى‌ها و ساب آلکالن تقسيم می شوند، نمونه‌های مربوط به توده نيمه عميق منطقه، در قلمرو گرانیتوئيدهای آلکالن قرار می گيرند (شکل ۱۶).

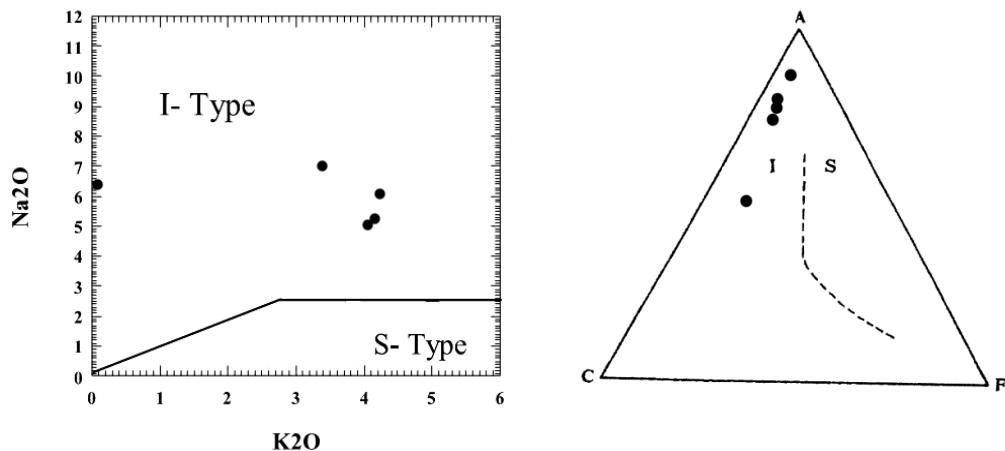
ژئوشيمى سنگ درونگير و ماده معدنى کانسار سرخه ديزج چگونگى توزيع و پراكندگى عناصر مختلف در واحدهای سنگى هر منطقه و ارتباط اين عناصر با يكديگر، يكى از مهمترین جنبه‌هایی است که معمولاً در مطالعات ژئوشيميايی مد نظر قرار می گيرد، که با استفاده از اين روابط می توان به ويزگيهای محيط تشکيل و فرآيندهای موثر در شكل گيري کانسار پي برد. در اين بخش، جهت بررسى چگونگى تشکيل کانسار و مطالعه روند توزيع و پراكندگى و همچنین تغييرات عناصر اصلی و فرعی در ماده معدنى و سنگ درونگير، به مطالعات ژئوشيميايی و نتایج حاصل از آنها پرداخته می شود. برای اين منظور، بحث ژئوشيمى در دو بخش ژئوشيمى سنگ ميزبان (از نظر عناصر اصلی و فرعی و ژئوشيمى عنصر يا عناصر کانسارى در زون‌های کانی‌زاوی مورد توجه قرار گرفته است.

ويزگيهای ژئوشيميايی سنگهای ميزبان

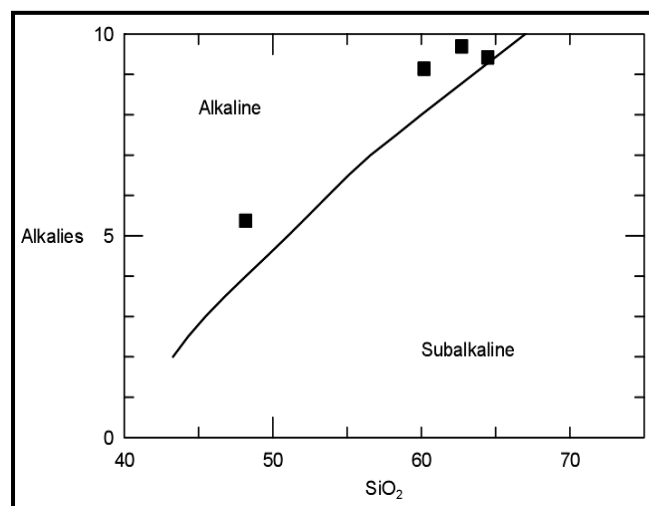
سنگهای ميزبان کانه‌زاوی توده نيمه عميق با تركيب کوارتز مونزونيت، مونزونيت و گرانیت مولد کانه‌زاوی و سنگهای ولکانيکي اوسن با تركيب تراکي آندزيت و تراكيت می باشند. با توجه به اين که عامل کانه‌زاوی در منطقه، نفوذ همین توده نيمه عميق در سنگهای ولکانيکي اوسن می باشد، مطالعات ژئوشيميايی بر روی اين توده متمرکز شده است، زيرا شناخت دقیق عامل کانه‌زاوی راهنمایي مفيد برای اكتشافات منطقه‌ای و ناحيه‌اي می باشد.



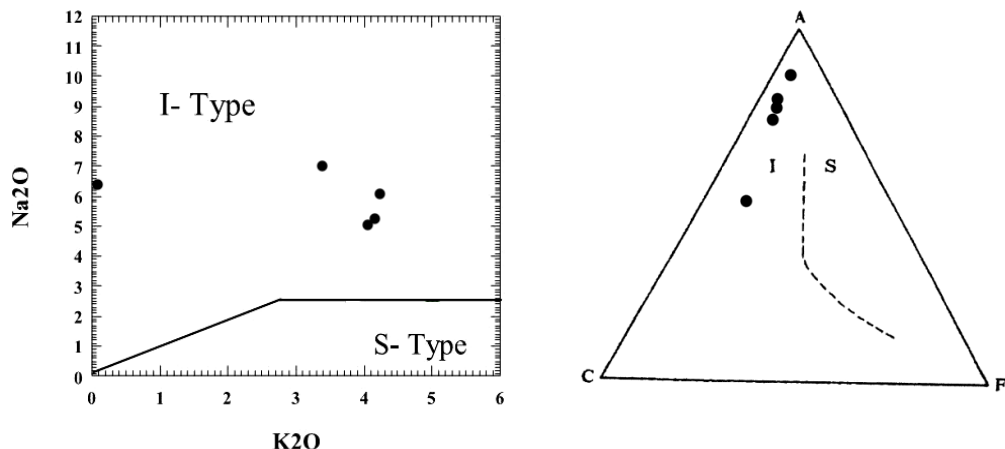
شکل ۱۴. موقعیت نمونه‌های توده نفوذی نيمه عميق بر روی نمودار QAPF [۴۳]



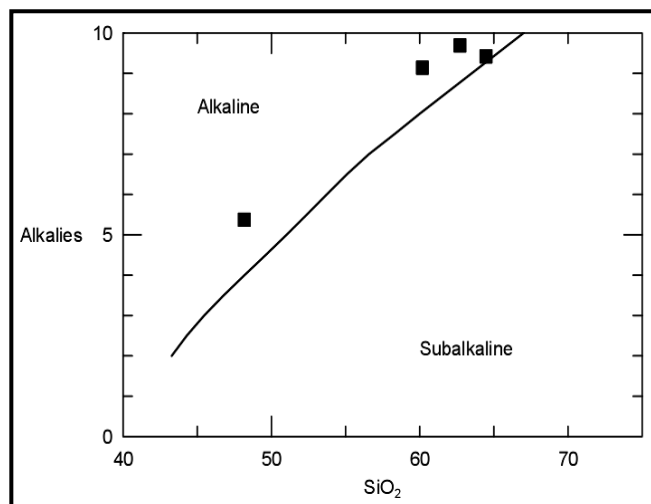
شکل ۱۵. نمودار ACF به منظور تفکیک گرانیت‌های نوع I از S [۴۵]
 (الف) (.C=CaO, F= FeO+MgO, A= Al_2O_3 - $\text{Na}_2\text{O}-\text{K}_2\text{O}$)
 (ب) نمودار جهت تفکیک گرانیت‌وئیدهای نوع I و S.



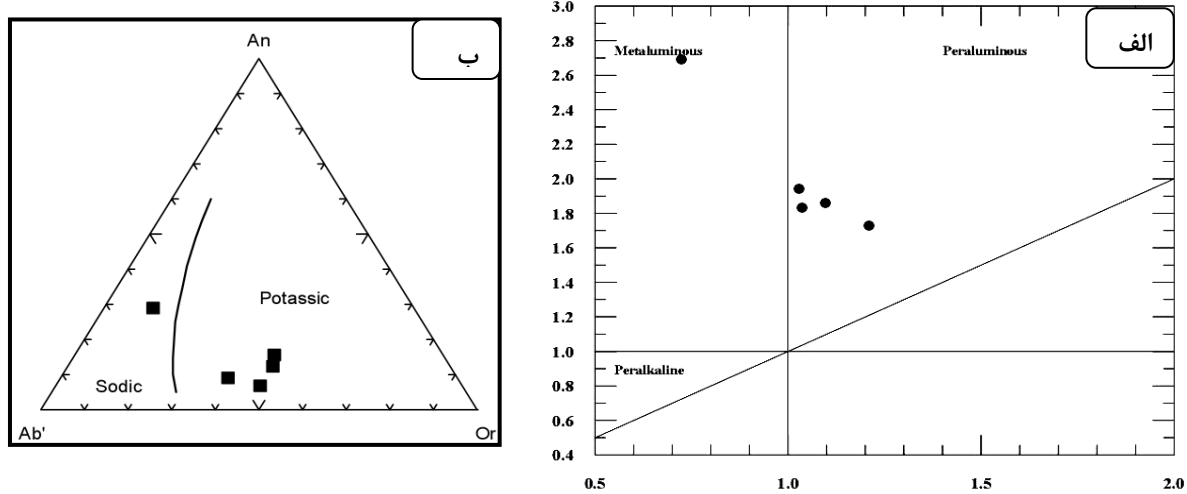
شکل ۱۶. نمودار دوتایی آلکالی در مقابل SiO_2 [۴۴]



شکل ۱۵. نمودار ACF به منظور تفکیک گرانیتهای نوع I از S [۴۵]
. (C=CaO, F=FeO+MgO, A= $\text{Al}_2\text{O}_3\text{-Na}_2\text{O}\text{-K}_2\text{O}$)
الف) نمودار جهت تفکیک گرانیتوئیدهای نوع I و S



شکل ۱۶. نمودار دوتایی آلکالی در مقابل SiO_2 [۴۴]



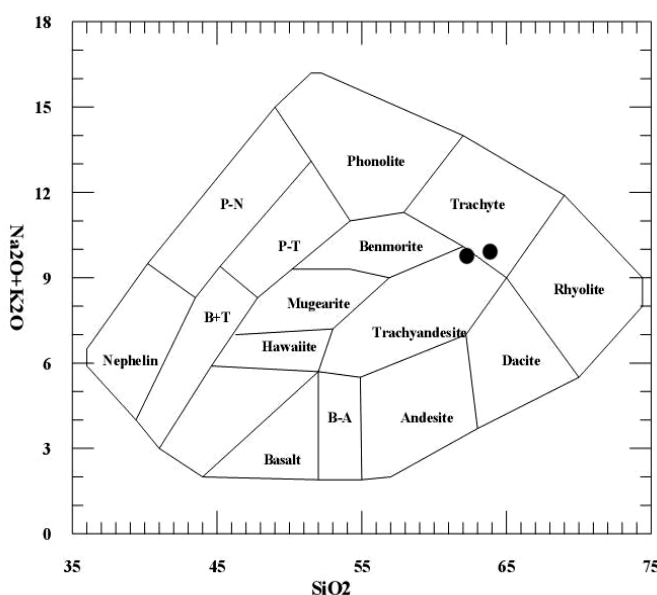
شکل ۱۸. الف) نمودار شاخص [۴۹] که نسبت مولی $\text{Al}_2\text{O}_3/(\text{K}_2\text{O}+\text{Na}_2\text{O}+\text{CaO})$ را در برابر نسبت مولی $\text{Al}_2\text{O}_3/(\text{K}_2\text{O}+\text{Na}_2\text{O})$ قرار داده است؛ ب) نمودار مثلثی Ab-Or-An جهت تفکیک ماقماهای سدیک از ماقماهای غنی در پتاسیک.

کانه‌زایی مگنتیت آپاتیت‌دار سرخه‌دیزج در زون البرز باختری - آذربایجان قرار گرفته است. محققان مختلف در خصوص ماقماتیسم دوران سوم این زون، موقعیتهای مختلف ژئودینامیکی را مد نظر قرار داده‌اند. این محیطها شامل حاشیهٔ فعال قاره‌ای [۶-۸] و مدل جزایر قوسی می‌باشند. موید [۷] ایده‌آل‌ترین مدل پیشنهادی برای این نوار را با توجه به بررسی ویژگیهای ژئوشیمیایی سنگهای آتشفسانی و نفوذی ائوسن-الیگوسن البرز باختری - آذربایجان، جایگاه ژئودینامیکی "قوس ماقمایی پس از تصادم" بیان می‌کنند. نوار ماقمایی البرز-آذربایجان در زمان بعد از کرتاسه، محصول فاز کششی پیرنه است که بعد از فاز فشارشی لارامید حادث شده است. به دنبال فعالیت آتشفسانی زیردریایی ائوسن (سازند کرج)، که با حرکات کششی آغازین فاز پیرنه مطابقت دارد، حرکات پایانی پیرنه از نوع فشارشی بوده و در اثر این فاز، توده‌های نفوذی، به درون سنگهای آتشفسانی ائوسن نفوذ کرده‌اند و مجموعهٔ اخیر را مورد تهاجم قرار داده‌اند [۷].

ژئوشیمی سنگهای آتشفسانی

سنگهای آتشفسانی در محدودهٔ تراکیت و تراکی آندزیت ترسیم شده‌اند (شکل ۱۹). در مورد محیط تکتونیکی سنگهای آتشفسانی به مطالعات انجام شده قبلی اکتفا شده است. رحمانی و همکاران [۸] با مطالعهٔ سنگهای آتشفسانی - نفوذی طارم، نمونه‌هایی از آن را برداشت کرده و مورد مطالعه قرار داده‌اند. آنها معتقدند که سنگهای آتشفسانی این منطقه، در نمودارهای ژئوتکتونیکی جایگاه مناطق قوسی را نشان می‌دهند.

سنگهای نفوذی و آتشفسانی منطقه مورد مطالعه، به عنوان بخشی از نوار آتشفسانی - نفوذی طارم، در نتیجهٔ فعالیتهای ماقماتیسم ترشیری البرز غربی - آذربایجان به وجود آمده‌اند. مهمترین فعالیت آتشفسانی در این نوار بعد از فاز فشارشی لارامید و در اثر یک فاز کششی (پیرنه) به وقوع پیوسته که عمدهاً از نوع آتشفسانی زیردریایی است. به دنبال این فعالیت آتشفسانی در اوایل الیگوسن، گرانیتوئیدهای مرتبط با فاز کوهزایی ائوسن پایانی - الیگوسن تشکیل شده‌اند. لذا می‌توان فعالیتهای نفوذی ائوسن پایانی - الیگوسن را ادامهٔ فعالیتهای آتشفسانی ائوسن در نظر گرفت.



شکل ۱۹. نام‌گذاری سنگهای ولکانیک منطقه [۴۶].

می‌دهند. میزان تحرک عناصر نادر خاکی با تغییر محلولهای ماگمایی اولیه به محلولهای ماگمایی تأخیری افزایش می‌یابد. مطابق نظر Lottermoser حلایت و انحلال عناصر نادر خاکی در دگرگونی درجات ضعیف مشاهده نشده است. ولی در دگرگونی درجات بالا، در مناطق پهنه‌های برشی، در طی دیاژنز سنگهای کربناتی، در سنگهای سیلیکاتی دارای منافذ و در جاهایی که نسبت سیال به سنگ زیاد باشد، این عناصر می‌توانند انحلال و حمل شوند.

یکی از ویژگیهای اصلی کانسارهای مگنتیت-آپاتیت تیپ کایرون، وجود درصد بالایی از عناصر نادر خاکی در آنهاست [۱۰-۱۲]. عناصر نادر خاکی در این تیپ از کانسارها بیشتر تمایل دارند که در داخل آپاتیت تمرکز یابند و تشکیل کانیهای فرعی از جمله مونازیت را بدeneند. توزیع REE در آپاتیت کانسارهای مختلف به عواملی همچون ترکیب و منشأ سنگهای دربرگیرنده آنها بستگی دارد [۱۱]. بلورهای آپاتیت محدوده وسیعی از تغییرات شیمیایی مربوط به محیطی را که در آن شکل گرفته‌ند نشان می‌دهند. در کانی آپاتیت، عناصر فلورور، کلر، هیدروکسیل و کربنات می‌توانند جانشین یکدیگر شوند. REE در آپاتیت جانشین Ca^{+2} شده و نقشی مهم برای توزیع REE در کانسنگ و سنگ، بازی می‌کند [۱۱ و ۱۳].

Frietsch & Perdahl الگوی توزیع REE آپاتیتها را در انواع محیط‌ها و کانسارهای مختلف بررسی و با یکدیگر مقایسه

ژئوشیمی

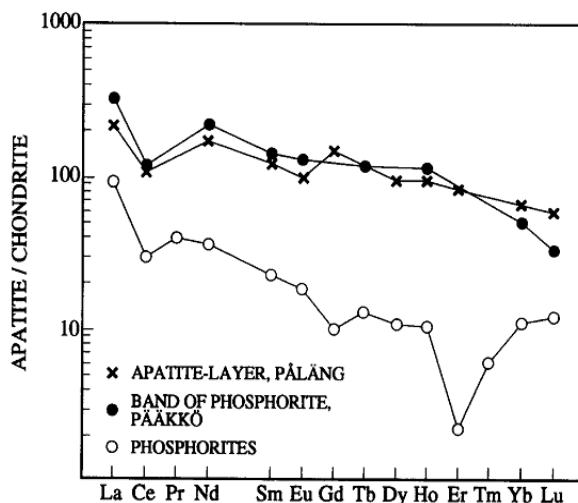
عناصر نادر خاکی

عناصر نادر خاکی که شامل سری 4f در جدول تنایوبی هستند، دارای اعداد اتمی ۵۷-۷۱ بوده که عنصر ایتریم Y با عدد اتمی ۳۹ نیز در بین آنها قرار می‌گیرد. عناصر نادر خاکی گاهی تحت عنوان لانتانیدها نیز خوانده می‌شوند. واژه لانتان به عناصری از Lu تا La همراه با Y به کار می‌رود. این عناصر نقش مهمی در مطالعه سنگ‌شناسی آذرین، دگرگونی و رسوبی دارا می‌باشند. به علاوه مطالعه عناصر نادر خاکی در بررسی فرآیندهای رسوبی و شیمی اقیانوسها و تعیین تکامل پوسته قاره‌ای کمک به سزاگی می‌کند [۹].

توزیع عناصر نادر خاکی در درون سیالات هیدروترمالی (غنی‌شده HREE و یا LREE)، به عواملی از جمله pH، دما و نوع کمپلکس‌های موجود در سیالات بستگی دارد. به طور کلی، عناصر نادر خاکی درون سیستمهای ژئوشیمیایی خاصی متحرک می‌گردند. انتقال آنها در محلولهای هیدروترمال عموماً به صورت کمپلکس صورت می‌گیرد. پایداری انواع کمپلکس‌های این عناصر متغیر است و به عواملی از جمله تغییرات دما، فشار، pH و سنگهای دیواره بستگی دارد [۹]. به عنوان مثال، عناصر نادر خاکی سنگین و ایتریم نسبت به عناصر نادر خاکی سبک، کمپلکس‌های پایدارتری از نوع کربنات، فلورید، اکسالات، کلرید و سولفات تشکیل

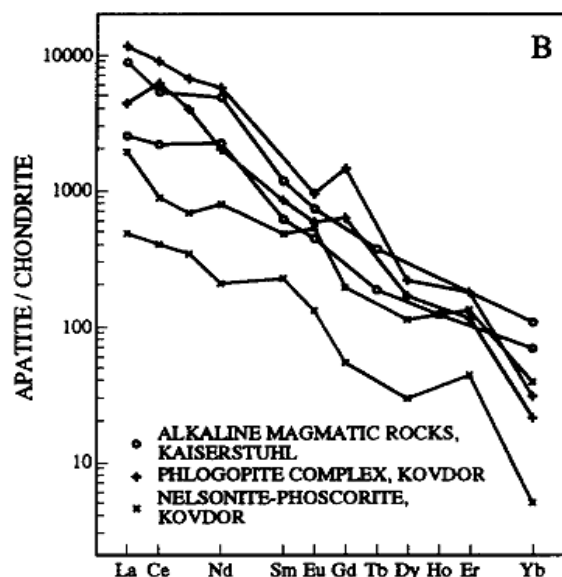
دلیران و همکاران این تهی‌شدگی به تأثیر آب دریا بر آنها برمی‌گردد، زیرا Ce تنها REE است که می‌تواند به صورت چهار ظرفیتی اکسید شده و از آب دریا جدا گردد. این عنصر در اعماق دریا وارد ندولهای منگنز شده و در آنها تمرکز می‌یابد [۱۸ و ۹].

آپاتیت کانسارهای آهن-آپاتیت کایروننا واقع در شمال سوئد، حدود ۱۲۵۰-۶ ppm REE دارد. الگوی آپاتیت این کانسارها تفکیک ضعیف LREE/HREE داشته و در عنصر Eu آنومالی منفی را نشان می‌دهد (شکل ۲۲). به نظر Frietsch & Perdahl آپاتیت تهی‌شدگی Eu در این کانسار، می‌تواند در اثر تبلور بخشی فلدسپات از ماجماهای مرتبط، در نزدیک سطح و یا این که در اثر اکسیده بودن محیط (به دلیل وجود مگنتیت و هماتیت) می‌باشد.



شکل ۲۱. الگوی REE آپاتیت موجود در سنگهای رسوبی [۱۱].

کرده، که در زیر به طور خلاصه به آن پرداخته می‌شود. ماجماهای گوناگون با ترکیبات مختلف، دارای الگوهای مختلف REE می‌باشند [۱۴ و ۱۵]. آپاتیت مرتبط با نفوذیهای آلکالن و کربناتیتها، غنی از REE می‌باشد. میزان REE در آنها به چند درصد می‌رسد به طوری که جدایش قوی از LREE/HREE را نشان می‌دهند. این آپاتیتها نسبت به عنصر Eu آنومالی منفی نشان می‌دهند (شکل ۲۰) [۱۱]. اغلب کانسارهای آهن حاوی آپاتیت، در ارتباط با ماجماهای کالک‌آلکالن بوده و جدایش LREE/HREE در آنها از متوسط تا زیاد تغییر می‌کند [۱۱]. آپاتیتها تشکیل شده در محیط‌های رسوبی نسبت به فلوئور غنی و دارای مقداری کربنات و هیدروکسیل هستند [۱۹]. همان طور که از شکل پیداست، میزان REE آپاتیت در رسوبات دریایی و فسفریتها کم و تقریباً برابر 1000 ppm و یا $<100 \text{ ppm}$ می‌باشد. این آپاتیتها به طور شاخص از عنصر Ce تهی شده‌اند. بنا به نظر



شکل ۲۰. الگوی REE آپاتیت موجود در نفوذیهای آلکالن [۱۱].

کانسارهای آهن آپاتیت دار شمال سوئد را با هم مقایسه کرد و نشان داد که مگنتیت تیپهای مختلف کانسارهای پالئوپروتروزوئیک، در شمال سوئد، نسبت به REE فقیر و REE موجود در آنها (2 ppm) به میزان کمی تفکیک یافته است (شکل ۲۴A و ۲۴B). همچنان که از شکل نیز پیداست، Ce در مگنتیت بعضی از این کانسارها تهی شدگی نشان می‌دهد که به نظر Appel این تهی شدگی مربوط به شرایط اکسیدان محیط در طی رسوبگذاری است.

مگنتیت در کانسارهای آهن تیپ کایرونونا، دارای مقدار REE بالا (100 ppm) است که این نشانگر میزان بالای تفریق در این کانسارهای است [۱۱]. در این تیپ کانسارها، نسبت LREE/HREE تفکیک مشخصی داشته و میزان تفکیک در LREE نسبت به HREE زیاد می‌باشد (شکل ۲۴D و ۲۴C). الگوی توزیع REE در کانسارهای آهن نواری کوارتزدار Bjorkholmen و Kallak در Lannavaara مشابه الگوی در Teltaja و Kevus در Lannavaara است. ولی با این تفاوت که مگنتیت کانسارهای آهن Lannavaara و Teltaja در میزان Bjorkholmen پایین (5 ppm) و نسبت به LREE تهی شدگی نشان می‌دهند (شکل ۲۴F).

تهی شدگی LREE احتمالاً مربوط به دگرسانی متاسوماتیک با میکروکلینی، تورمالینی و اسکابولیتی شدن در ارتباط با تشکیل آهن می‌باشد [۱۱].

در کانسارهای Missouri Fe Oxide-REE، الگوی REE در سنگهای میزان حاکی از غنی شدگی آنها از LREE و TEREE تهی شدگی آنها از Eu می‌باشد [۱۰]. در کانسارهای آهن تیپ کایرونونا، الگوی REE سنگهای میزان تراکیتی ریوتراکیتی مشابه الگوی REE در مگنتیت است با این تفاوت که در سنگهای میزان، میزان آن حدود ۵-۲۰ مرتبه بالاتر از REE مگنتیت می‌باشد (شکل ۲۵A و ۲۵B).

همان طور که در شکل (۲۲A و ۲۲B) نشان داده شده است، الگوی REE آپاتیت کانسارهای تیپ کایرونونا با درصد فسفری نرمال (1 P) در $\text{Eu} < \text{La} < \text{Ce} < \text{Nd} < \text{Pr} < \text{Gd} < \text{Y}$ مشابه آپاتیت کانسارهای آهن غنی از فسفر (1 P) (Henry) می‌باشد.

آپاتیت ذخایر غنی از فسفر دارای مقدار $4000-5000\text{ ppm}$ REE بوده که تفکیک عناصر نادر خاکی در آنها ضعیف و نسبت به عنصر Eu تهی شدگی را نشان می‌دهند [۱۱]. الگوی توزیع آپاتیت کانسار آهن Grangesberg با آپاتیت کانسار Kirunavaara and Malmberget متفاوت بوده و میزان REE در آن پایین (2160 ppm)، تفکیک متوسط و در عنصر Eu آنومالی مثبت از خود نشان می‌دهند (شکل ۲۲C). دیگر کانسارهای آهن تیپ کایرونونا (به عنوان مثال Bafq, El, Laco, Great Bear Lake) دارای محتوای REE بالا بوده و نسبت به عنصر Eu آنومالی منفی را نشان می‌دهند. همان طور که از شکل نیز پیداست، آپاتیت موجود در کانسارهای مگنتیت آپاتیت دار تیپ کایرونونا، الگوی مشابهی را نشان می‌دهند، اما درصد REE و میزان تفکیک REE می‌باشد در آنها از متوسط تا زیاد تغییر می‌کند.

به نظر، پایین بودن میزان REE آپاتیت و آنومالی مثبت Eu در کانسار Malmberget احتمالاً می‌تواند در ارتباط با دگرسانی هیدروترمال مگنتیت به همایت باشد. احتمالاً تهی شدگی La و Ce آپاتیت در کانسار Softestad بر اثر دگرسانی متاسوماتیک بوده است.

آپاتیت کانسار آهن آپاتیت دار سرخه دیزج، در دو نسل، حدود $400-1000\text{ ppm}$ REE دارد. آنومالی منفی Eu در این کانسار نیز دیده می‌شود. الگوی REE در این آپاتیت مشابه کانسار تیپ کایرونونا (شکل ۲۲A) می‌باشد (شکل ۲۳).

Frietsch & Perdahl توزیع و پراکندگی REE مگنتیت در

کانسارهای آهن آپاتیت‌دار شمال سوئد را با هم مقایسه کرد و نشان داد که مگنتیت تیپهای مختلف کانسارهای پالٹوپروتروزوفیک، در شمال سوئد، نسبت به REE فقیر و REE موجود در آنها (22 ppm) به میزان کمی تفکیک یافته است (شکل ۲۴A و ۲۴B). همچنان که از شکل نیز پیداست، Ce در مگنتیت بعضی از این کانسارها تهی شدگی نشان می‌دهد که به نظر Appel این تهی شدگی مربوط به شرایط اکسیدان محیط در طی رسوبگذاری است.

مگنتیت در کانسارهای آهن تیپ کایرونونا، دارای مقدار REE بالا (100 ppm) است که این نشانگر میزان بالای تفرقی در این کانسارهای است [۱۱]. در این تیپ کانسارها، نسبت LREE/HREE نسبت به HREE زیاد می‌باشد (شکل ۲۴D و ۲۴C). الگوی توزیع REE در کانسارهای آهن نواری کوارتزدار Bjorkholmen و Kallak (شکل ۲۴E)، کانسارهای آهن Lannavaara و Teltaja و Kevus در مگنتیتهای تیپ کایرونوناست. ولی با این تفاوت که مگنتیت کانسارهای آهن Teltaja و Kevus در Mänttä در پایین (5 ppm) و نسبت به LREE تهی شدگی نشان می‌دهند (شکل ۲۴F).

تهی شدگی LREE احتمالاً مربوط به دگرسانی متاسوماتیک با میکروکلینی، تورمالینی و اسکاپولیتی شدن در ارتباط با تشکیل آهن می‌باشد [۱۱].

در کانسارهای Missouri Fe Oxide-REE، الگوی REE در سنگهای میزان حاکی از غنی شدگی آنها از LREE و REE می‌باشد [۱۰]. در کانسارهای آهن تیپ کایرونونا، الگوی REE سنگهای میزان تراکیتی ریوتراکیتی مشابه الگوی REE در مگنتیت است با این تفاوت که در سنگهای میزان، میزان آن حدود ۵-۲۵% مرتبه بالاتر از REE مگنتیت می‌باشد (شکل ۲۵A و ۲۵B).

همان طور که در شکل (۲۲A و ۲۲B) نشان داده شده است، الگوی REE آپاتیت کانسارهای تیپ کایرونونا با درصد فسفری نرمال (1 P) در Kirunavaara and $Malmberget$ مشابه آپاتیت کانسارهای آهن غنی از فسفر (1 P) Rektorn and Henry (می‌باشد).

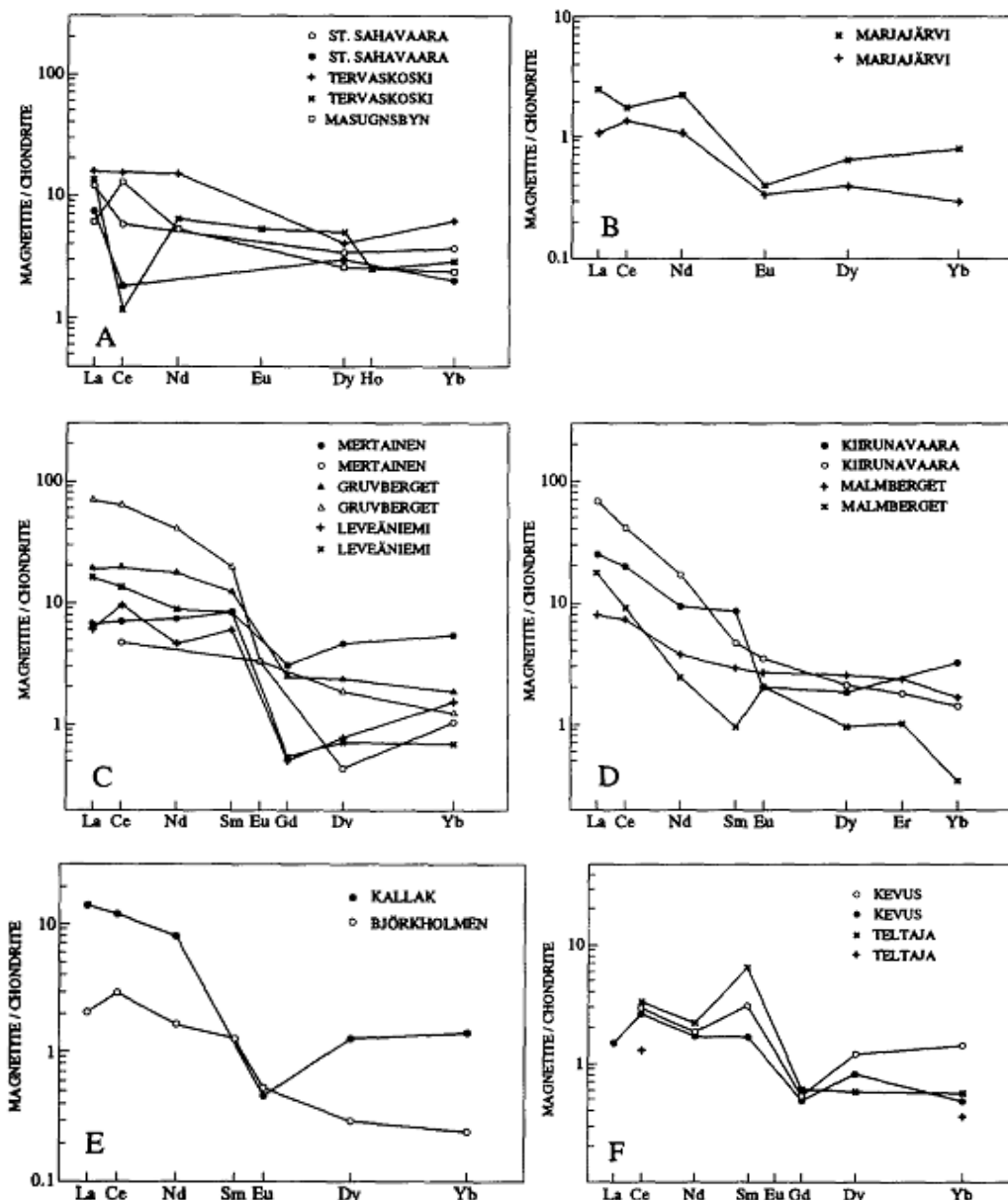
آپاتیت ذخایر غنی از فسفر دارای مقدار $4000-5000\text{ ppm}$ REE بوده که تفکیک عناصر نادر خاکی در آنها ضعیف و نسبت به عنصر Eu تهی شدگی را نشان می‌دهند [۱۱]. الگوی توزیع آپاتیت کانسار آهن Grangesberg با آپاتیت کانسار Kirunavaara and Malmberget متفاوت بوده و میزان REE در آن پایین (2160 ppm)، تفکیک متوسط و در عنصر Eu آنومالی مثبت از خود نشان می‌دهند (شکل ۲۲C). دیگر کانسارهای آهن تیپ کایرونونا، (به عنوان مثال Bafq, El Bafq, Great Bear Lake) دارای محتوای REE بالا بوده و نسبت به عنصر Eu آنومالی منفی را نشان می‌دهند. همان طور که از شکل نیز پیداست، آپاتیت موجود در کانسارهای مگنتیت آپاتیت‌دار تیپ کایرونونا، الگوی مشابهی را نشان می‌دهند، اما درصد REE و میزان تفکیک REE/LREE از متوسط تا زیاد تغییر می‌کند.

به نظر، پایین بودن میزان REE آپاتیت و آنومالی مثبت Eu در کانسار Malmberget احتمالاً می‌تواند در ارتباط با دگرسانی هیدروترمال مگنتیت به همایت باشد.

احتمالاً تهی شدگی La و Ce آپاتیت در کانسار Softestad بر اثر دگرسانی متاسوماتیک بوده است.

آپاتیت کانسار آهن آپاتیت‌دار سرخه‌دیزج، در دو نسل، حدود $400-1000\text{ ppm}$ REE دارد. آنومالی منفی Eu در این کانسار نیز دیده می‌شود. الگوی REE در این آپاتیت مشابه کانسار تیپ کایرونونا (شکل ۲۲A) می‌باشد (شکل ۲۳).

Frietsch & Perdahl توزیع و پراکندگی REE مگنتیت در

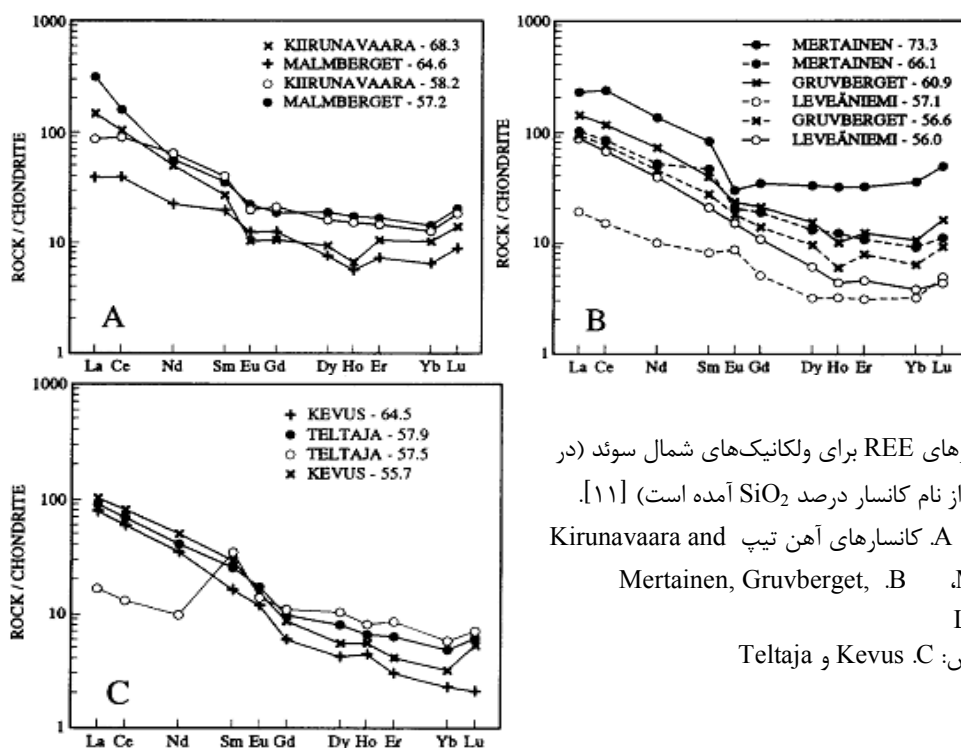


شکل ۲۴. الگوهای REE برای مگنتیت در کانسارهای شمال سوئد [۱۱].

گروه گرینستون: A. کانسارهای آهن اسکارن B. کانسنگ‌های آهن نواری کوارتزدار

گروه پورفیری: C و D. کانسارهای آهن تیپ کلیرونا، E. کانسارهای آهن نواری کوارتزدار

تجمع نامشخص: F. کانسار آهن لاناوارا



شکل ۲۵. الگوهای REE برای ولکانیک‌های شمال سوئد (در این شکل بعد از نام کانسار در صد SiO_2 آمده است) [۱۱].
گروه پورفیری: A. کانسارهای آهن تیپ Kirunavaara and Mertainen, Gruvberget, .B .Malmberget Leveaniemi تجمع نامشخص: C. Kevus و Teltaja

ایجاد می‌شود. طی فرآیندهای دگرسانی، کانیهای سنگ مادر تخریب شده و REE به کمک کمپلکس‌ها از محیط خارج می‌شود. در مقابل Alderton et al. تهی‌شدگی سنگ‌های آتشفسانی فلزیک نسبت به عنصر Eu را از خصوصیات ماقمای اولیه دانسته و بیان می‌کند که این عنصر در پلازیوکلازهای کلسیک، به دلیل تشابه بسیار زیاد شعاع یونی Ca با Eu و Sr ، جانشین آنها می‌شود. همان‌طور که از مطالعه بالا مشخص است، مقدار و میزان غنی‌شدگی REE موجود در آپاتیت، مگنتیت و سنگ درون‌گیر کانسار سرخه‌دیزج متفاوت بوده و بیشترین تمرکز REE در آپاتیت و کمترین تمرکز آن در سنگ درون‌گیر است. همچنین بیشترین فراوانی REE در آپاتیتها مربوط به عناصر نادر خاکی سبک (از جمله عناصری مانند Nd و Ce, La) می‌باشد. میزان غنی‌شدگی آپاتیت، مگنتیت و سنگ درون‌گیر، نسبت به عناصر نادر خاکی سبک بیشتر از عناصر نادر خاکی سنگین است.

سری‌های ماغماتیسم آکالن، نسبت به عناصر نادر خاکی به ویژه عناصر نادر خاکی سبک، غنی‌شدگی شدیدی را نشان

نمایش می‌دهند که مقدار REE موجود در مگنتیتهای این کانسار در حدود ۳۰۰ ppm ۶۰۰۰ الی ۳۰۰ نسبتاً مشخص است (شکل ۲۶). قابل ذکر است که نمونه‌های آنالیز شده از مگنتیت، نمونه‌های دستی بودند. در کانسار سرخه‌دیزج، شکل عمومی سنگ میزان مشابه با مگنتیت است، با این تفاوت که میزان REE آنها کمتر از مگنتیت می‌باشد. به نظر Frietsch R., Perdahl شباهت قابل توجه موجود بین الگوی REE مگنتیت با سنگ‌های دربرگیرنده آنها بیانگر منشأ مشترک آنهاست. مقایسه الگوی REE مگنتیت کانسار سرخه‌دیزج با دیگر کانسارها، تشابه خیلی زیادی را با الگوی REE مگنتیت Kirunavaara (شکل 24C, 24D) نشان می‌دهد (شکل ۲۶). عنصر Eu نیز تهی‌شدگی را نشان می‌دهد. الگوی REE سنگ میزان مشابه با کانه آهن و حدود ۵۰ تا ۲۰۰ ppm می‌باشد (شکل ۲۷). اغلب کانسارهای آهن تیپ کایرونونا دارای آنومالی منفی از عنصر Eu می‌باشند. بنا به نظر Parak, تهی‌شدگی عنصر Eu ثانویه بوده که تحت تأثیر فرآیندهای دگرسانی هیدرотرمالی

۱- کانسارهای مگنتیت- آپاتیت-ایلمنیت با Ti و P بالا (نلسونیتها) که با آنور توزیتها همراهند.

۲- کانسارهای مگنتیت- آپاتیت با Ti و P پایین (کانسارهای تیپ کایرونا) که اصولاً با سنگهای آتشفسانی کالکآلکالن تا آلکالن همراه هستند. ذخایر تیپ کایرونا، بنا به تقسیم‌بندی IOCG که توسط [۳۹ و ۴۰] انجام گرفته، جزو کانسارهای IOCG قرار می‌گیرند. کانسارهای تیپ IOCG به دو زیردسته کانسارهای مرتبط با مagma‌تیسم کالکآلکالن و آلکالن تقسیم شده‌اند [۱۵].

الف) کانسارهای IOCG مرتبط با magma‌تیسم کالکآلکالن

۱- کانسارهای آهن تیپ اسکارنی (Iron skarn type)

۲- کانسارهای آهن تیپ کایرونا (Kiruna type)

۳- کانسارهای آهن تیپ المپیکدم (Olympic Dam type)

۴- کانسارهای آهن تیپ کلون کوری (Cloncurry type)

ب) کانسارهای IOCG مرتبط با magma‌تیسم آلکالن

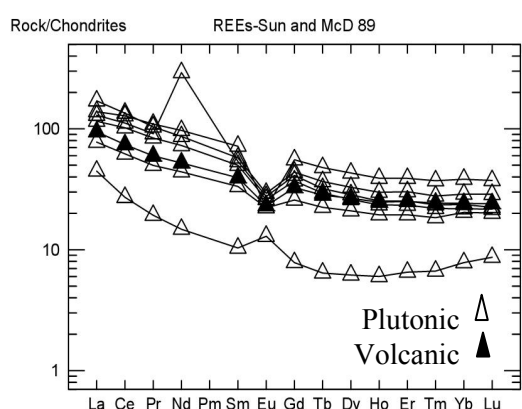
۱- کانسارهای آهن تیپ پالابورا (Palabora type)

۲- کانسارهای آهن تیپ بایان ابو (Bayan Obo sub-type) با توجه به شواهد اظهار شده در بخش‌های قبلی، از جمله سنگ درون‌گیر، کانی‌شناسی، دگرسانی و ژئوشیمی، کانسار اکسید آهن آپاتیت‌دار سرخه دیزج بیشترین شباهت را با کانسارهای آهن تیپ کایرونا دارد.

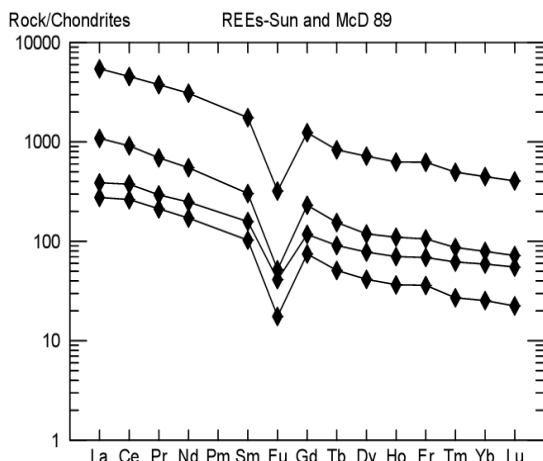
می‌دهند که این غنی‌شدگی با شدت آلکالینیته محیط نسبت مستقیم دارد. مطالعات زیادی در مورد تأثیر دگرسانی و دگرگونی بر فراوانی REE صورت گرفته است. به نظر Whitford et al. هیدروترمالی و دگرگونی قرار گرفته‌اند، الگو و فراوانی REE در آنها تغییر نمی‌کند. اما شواهدی وجود دارد که نشان می‌دهد، REE در طی دگرسانی گرانیت همراه با فرآیندهای هیدروترمال و سوبرزن متحرک است [۲۰، ۹ و ۲۲]. بر اساس مطالعات [۲۰] مشخص شد که دگرسانی هیدروترمالی، تأثیر به سزاوی بر توزیع عناصر REE دارد و با افزایش نسبت سیال به سنگ و شدت دگرسانی، حلایت REE افزایش می‌یابد. این حلایت باعث افزایش و یا کاهش میزان REE در سیستمهای کانیابی می‌شود. علاوه بر تأثیر سیالات هیدروترمالی و دگرسانی، دگرگونی در جرات بالا (شیست‌ساز و درجات بالاتر) و فرآیند دیاژنز نیز بر توزیع و اتحال REE تأثیری مهم دارند [۹].

زنز کانسارهای تیپ کایرونا

با توجه به مطالعات انجام شده در کانسار سرخه دیزج، سعی شد که ویژگیهای این کانسار با ویژگیهای ذخایر تیپ اکسید آهن آپاتیت‌دار مقایسه شود. طبق تقسیم‌بندی [۴۷] ضمن مطالعاتی که بر روی منشأ، نحوه جای‌گیری و خروج magma‌های کانسنگی (ore magmas) انجام داده‌اند، کانسارهای آهن آپاتیت‌دار را به دو گروه عمده زیر تقسیم کردند:



شکل ۲۷. الگوی پراکندگی REE در سنگ درون‌گیر کانسار سرخه دیزج



شکل ۲۶. الگوی پراکندگی REE در مگنتیت کانسار سرخه دیزج.

این کانسارها از سیالات ماقمایی و هیدروترمالی منشأ گرفته‌اند [۲۳ و ۳۷].

ژنز کانسار اکسید آهن آپاتیت‌دار سرخه‌دیزج
فرآیند تشكیل این گروه از ذخایر براساس فعالیتهای هیدروترمالی و تفریق ماقمایی است. سیالات جوی نیز در مراحل پایانی تشكیل کانسارهای وارد سیستم می‌شود [۳۸]. کانی‌زایی در این تیپ کانسارها در درون سنگهای آتشفسانی و نفوذی روی می‌دهد. اغلب فلزات موجود در این کانسارها، منشأ ماقمایی دارند [۲۵]. ذخایر غنی در مگنتیت از سیالات ماقمایی غنی در اکسید آهن آپاتیت‌دار (کانسارهای تیپ کایرونا) با دمای بالا و در محیط‌های نیمه‌عمیق تشكیل می‌شوند. آپاتیت و اکتینولیت در این نوع از کانسارها از جمله کانیهایی هستند که همراه مگنتیت می‌باشند. فسفر در این کانسارها، باعث پایین آمدن دمای انجماد مگنتیت در ماقما می‌شود که در این صورت، آهن می‌تواند در دمای‌های پایین به وسیله سیالات حمل شود. وقتی که این سیالات به محیط مناسبی برسند، ترکیبات موجود در خود را ته نشت داده و باعث کانه‌زایی می‌شوند. این فرایندها در مقیاس کوچک، به صورت رگه‌ای و برشی (پرکننده فضاهای خالی) در حاشیه توده کوارتز‌مونزونیت در منطقه Great Bear واقع در کانادا روی داده است.

توده نیمه‌عمیق کوارتز‌مونزونیت از یک توده عظیم و بزرگ در زیر این منطقه منشأ گرفته و در داخل سنگهای آتشفسانی نفوذ کرده و در مناطق گسلی و شکستگیها، باعث کانی‌زایی ذخایر غنی از آهن شده است. انتقال سیالات غنی از آهن به سطوح بالاتر در این کانسارها همزمان با تبلور توده نفوذی نیمه‌عمیق صورت گرفته است. سیالات کانی‌ساز در عنصری از جمله F و OH⁻, Cl⁻ و باعث اکسید آهن آپاتیت‌دار و اکتینولیت غنی بوده‌اند. البته قابل ذکر است که سیالاتی که در ذخایر اکسید آهن آپاتیت‌دار و اکتینولیت غنی تشکیل این کانسار، نقش فرعی داشته‌اند و در مراحل پایانی تشکیل کانسار وارد سیستم کانه‌زایی شده‌اند [۳۸].

بر اساس مطالعات ژئوشیمیایی و مینرالوگرافی، کانسار اکسید آهن-آپاتیت‌دار سرخه‌دیزج به عنوان کانسار آهن-آپاتیت نوع کایرونا معروفی می‌گردد. در مورد ژنز این کانسار، می‌توان چنین برداشت کرد:

تحول کانسارهای آهن تیپ کایرونا

در مورد منشأ کانسارهای تیپ کایرونا نظرات مختلفی ارائه شده است و فرآیندهای مختلفی را برای تشکیل آنها در نظر گرفته‌اند که از جمله این سازوکارها می‌توان به موارد زیر اشاره کرد

- ۱- پدیده‌جدا شدن مذاب اکسید آهن اختلاطناپذیر از مذاب غنی از سیلیس، حین سرد شدن ماقما [۳۲].
- ۲- ذوب بخشی یا کامل سنگهای پوسته‌ای غنی از آهن [۳۲].
- ۳- تشكیل این کانسارها به صورت رگه‌ای گرمابی یا جانشینی [۲۶-۲۳].
- ۴- کانسارهای اگزالاتیو-رسوبی [۲۷-۳۱].

در موارد اول و دوم، انتقال آهن به صورت ماقمای غنی از آهن صورت می‌گیرد و تفاوت اصلی آنها در چگونگی شکل‌گیری ماقما می‌باشد. در موارد سوم و چهارم، انتقال آهن به صورت ترکیبات محلول در سیال بوده و تفاوت اصلی آنها با یکدیگر در چگونگی و مکان تهنشینی آهن است [۳۲].

نظرات مختلف ارائه شده در رابطه با ژنز کانسارهای آهن تیپ کایرونا

در مورد ژنز کانسارهای اکسید آهن آپاتیت‌دار تیپ کایرونا طی صد سال گذشته مطالعات زیادی انجام شده و نظرات مختلفی درباره آن ارائه شده است. مدل‌های اولیه‌ای که ارائه شد، بیشتر بر اساس روابط صحرایی استوار بودند. تختین منشائی که برای این کانسارها در نظر گرفته شد، منشأ رسوبی [۳۰] بود که بعدها توسط پژوهشگرانی از جمله [۱۲] به صورت منشأ اگزالاتیو-رسوبی که به صورت رسوبات شیمیایی در یک محیط آتشفسانی-دریایی تهنشین می‌شوند، تغییر یافت.

از خاستگاههای دیگری که توسط محققان مختلف برای کانسارهای تیپ کایرونا ارائه شده می‌توان به منشأ ماقمایی [۳۳]، منشأ گرمابی ولکانوژن (Volcanogenic) [۳۴]، منشأ گرمابی و لکانوژن (Volcanogenic) [۳۳]، منشأ گرمابی و لکانوژن (Volcanogenic) [۳۴]، منشأ گرمابی [۲۳]، منشأ گرمابی [۳۵]، منشأ تبخیری متاسوماتیک [۲۳]، منشأ گرمابی [۳۵]، منشأ تبخیری (Evaporitic-Source model) [۲۵] و مدل سیالات ماقمایی و غیرماقمایی [۳۶] اشاره کرد. همچنان که از نظریات بالا مشاهده می‌شود، بحثهای زیادی در مورد چگونگی تشکیل این کانسارها وجود دارد. محور این بحثها بیشتر بر منشأ هیدروترمالی و ماقمایی بودن آن متمرکز شده است [۳۲]. با این حال، پژوهش‌های سالهای اخیر نشان می‌دهد که

همراه کانی سازی رگه- رگچه‌های سولفیدی، رگه- رگچه‌های سیلیسی و کربناتی نیز تشکیل شده‌اند (شکل ۲۸).

نتیجه‌گیری

شواهدی از قبیل مشاهدات صحرایی، ژئومتری، ساخت و بافت در مقیاسهای مختلف، سنگ درون‌گیر، پاراژنز، ژئوشیمی و دگرسانیهای تشکیل شده در این کانسار، همگی حاکی از آن است که کانسار اکسید آهن آپاتیت دار سرخه‌دیزج می‌تواند در ردیف کانسارهای اکسید آهن آپاتیت دار تیپ کایرونا به شمار آید. بنا به تقسیم‌بندی که توسط [۳۸] انجام گرفته، ذخایر تیپ کایرونا نیز جزو کانسارهای IOCNG قرار می‌گیرند.

بر مبنای نمودارهای رایج در طبقه‌بندی سنگ‌های آدرین، توده نفوذی منطقه سرخه‌دیزج، عمدهاً شامل کوارتز‌مونزونیت، مونزونیت و کوارتزسینیت بوده و سنگ‌های آتشفسانی نیز در گروه تراکیت و تراکی آندزیت قرار می‌گیرند که ترکیب آلکالن داشته و به سمت غنی از پتاسیک گرایش دارند.

مطالعات انجام شده بر روی عناصر نادر خاکی بیانگر غنی‌شدنی این کانسار از عناصر نادر خاکی سبک (LREE) نسبت به عناصر نادر خاکی سنگین (HREE) است. الگوی REE آپاتیت، مگنتیت و سنگ‌های دربرگیرنده، مشابه هم بوده و ارتباطی ماقمایی را بین آنها نشان می‌دهد. همچنین محتوای REE آپاتیت نسبت به سنگ‌های دربرگیرنده و مگنتیت بالاتر است. مطالعات ژئوشیمی سنگ درون‌گیر (توده نفوذی و سنگ‌های آتشفسانی) و ماده معدنی از لحاظ ژنتیکی با هم قرابت نزدیک و آشکاری دارند.

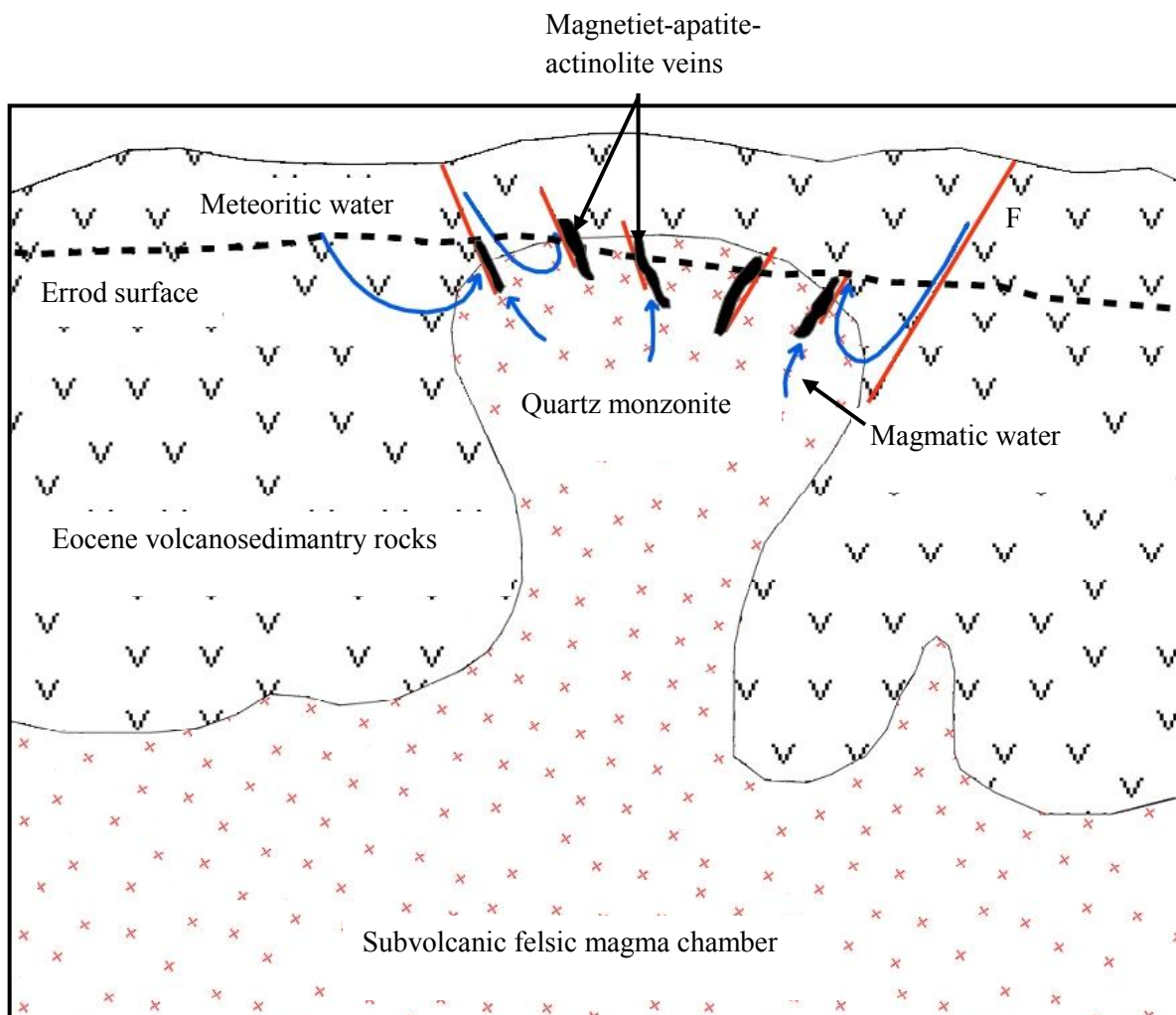
مطالعات پتروگرافی و مینرالوگرافی و همچنین شواهد صحرایی کانسار مورد مطالعه نشان می‌دهد که کانی سازی در کانسار سرخه‌دیزج در اثر نفوذ توده نیمه‌عمیق به داخل سنگ‌های اوسن و تبلور آن صورت گرفته است، بدین طریق که توده نیمه‌عمیق کوارتز‌مونزونیت از یک توده عظیم و بزرگ در زیر این منطقه منشاء گرفته و در داخل سنگ‌های اوسن نفوذ کرده و در مناطق گسلی و شکستگیها، باعث کانی‌زایی ذخایر غنی از آهن شده است. انتقال سیالات غنی از آهن و فسفر به سطوح بالاتر در این کانسارها همزمان با تبلور توده نفوذی نیمه‌عمیق صورت گرفته است. سیالات جوی نیز در مراحل

«توده نفوذی نیمه‌عمیق کوارتز‌مونزونیت سرخه‌دیزج غنی از آهن، فسفر، عناصر نادر خاکی، فلور، کلر و عناصر رادیواکتیو، از طریق دو سیستم گسله با روند NW-SE (منطبق بر امتداد محور تاقدیس موجود در سنگ‌های ولکانیک میزان)، در بخش‌های بالای پوسته زمین جایگزین گردیده است.

«با شروع انجماد و تبلور ماقما، مواد فرار از مذاب خارج و در سقف آشیانه تجمع یافته‌اند.

«سیالات ماقمایی، پس از جدا شدن از مذاب، به علت داشتن چگالی کمتر از آن، به بخش بالای توده نفوذی نیمه‌عمیق صعود کرده و با فشار وارد، باعث شکسته شدن سقف توده نفوذی نیمه‌عمیق شده‌اند. در این مرحله، فاز اولیه اکسید آهن به صورت مگنتیت به همراه آپاتیت، داخل شکستگیها را پر کرده و تشکیل رگچه‌های داربستی را داده است. به دنبال همین مرحله، فاز اصلی آهن- فسفات از ماقما تفكیک شده است. وجود مقادیر بالای F و Fe₂O₃، مواد فرار مانند Cl و به مقداری F₂ و فوگاسیته بالای اکسیژن در مذاب اولیه باعث جدایش این سیالات و تحرک آن شده است. بنابراین، سیالات ماقمایی حامل آهن- فسفات صعود کرده و رگه‌های آهن آپاتیت دار را به وجود آورده‌اند.

«همزمان با جایگزینی توده معدنی در سنگ‌های میزان به علت افزایش مواد فرار، متاسوماتیسم از جمله فلدسپات پتاسیم و اکتینولیتی شدن در محدوده معدنی رخ داده و در مراحل بعدی کانی‌زایی (به احتمال زیاد بعد از کانی‌زایی) کانیهایی نظری کلریت، کوارتز، کلسیت و اپیدوت تشکیل شده‌اند (البته قابل ذکر است که تشکیل دگرسانی پتاسیک را در اکثر نقاط دنیا نظری حوضه بافق، مربوط به مراحل قبل از کانی‌زایی تا کانی‌زایی می‌دانند). به دنبال مراحل قبلی، با افزایش مقادیر سولفور طی فاز سولفیدی، تحت تأثیر سیالات ماقمایی با دمای پایین، کانی سولفیدی به صورت پراکنده، باعث تشکیل کانیهایی از جمله پیریت، کالکوپیریت و بورنیت در زمینه کانسنگ اکسیدی اولیه شده است. طی فاز تأخیری، کانی سازی سولفیدی به صورت رگه- رگچه‌ای در داخل شکستگیها کانسنگ اولیه و توده نفوذی نیمه‌عمیق محدوده کانسار تشکیل شده است. یادآوری می‌شود که در این مرحله به



شکل ۲۸. مدل شماتیک نحوه تشکیل کانسار اکسید آهن آپاتیت دار سرخه دیزج با استفاده از [۳۸] با تغییرات جزئی.

oxide copper-gold and related deposits: A global perspective, v. 2, PGC Publishing, Adelaide, (2002) 303-320.

[3] Karimzadeh Somarin, A., "Marano volcanic rocks, East Azarbaijan province, Iran", and associated Fe mineralization. Journal of Asian Earth Sciences, v. 24, (2004) 11–23.

[۴] سامانی بهرام، چنزوئی گواستوائو، نائوگوان، "زمین‌شناسی پرکامبرین در ایران مرکزی از دیدگاه چینه‌نگاری، ماقماتیسم و دگرگونی"، فصلنامه علوم زمین، شماره ۱۰، صفحات ۶۳-۴۰. ۱۳۸۲،

پایانی تشکیل کانسار وارد سیستم کانه‌زایی شده و در تشکیل این کانسار نقش فرعی را ایفا کرده‌اند.

مراجع

[۱] قربانی، م.، "دبیاجه‌ای بر زمین‌شناسی اقتصادی ایران" ۱۳۸۱،

[2] Daliran F., "Kiruna type iron oxide-Apatite ores and apatites of the Bafq district, Iran, with an emphasis on the REE geochemistry of their apatites"; in Porter, T.M (ed), Hydrothermal iron

- [۱۹] Humphris, S.E., "The mobility of the rare earth element in the crust. In: P.Henderson (Editor), *Rare earth element geochemistry*". Development in geochemistry, 2. Elsevier, Amsterdam, (1984) 317- 373.
- [۲۰] Alderton, D.H.M., Pearce J.A. Potts P.J., "Rare earth element mobility during granite alteration: evidence from southeast England". Earth Planet. Sci. Lett, (1980) 149-165.
- [۲۱] Corriveau, L., "Iron oxide copper gold deposits: A Canadian perspective, in Goodfellow, W., ed., *Mineral deposits of Canada: A synthesis of major deposit-types, district metallogeny, the evolution of geological provinces, and exploration methods: Geological Association of Canada*" Mineral deposits Division, (2007) 307-328.
- [۲۲] Humphris, S.E., "The mobility of the rare earth element in the crust. In: P. Henderson (editor), *Rare earth element geochemistry. Development in Geochemistry*," 2. Elsevier, Amsterdam, (1984) 317- 373.
- [۲۳] Hitzman, M.W., Oreskes, N., Einaudi, M.T., "Geological characteristics and tectonic setting of Proterozoic iron oxide (Cu-U-Au-LREE) deposits. Precambrian research", (1992) no. 58, 241-287.
- [۲۴] Borrok, D.M., Kesler, S.E., Boer, R.H., Essene, E.J., "The Vergenoeg magnetite-fluorite deposit, South Africa: Support for a hydrothermal model for massive iron oxide deposits"; Econ Geol, (1998) no. 5, 564-586.
- [۲۵] Barton, M.D. Johnson, D.A., "An evaporitic- source model for igneous- related Fe oxide (REE- Cu- Au- U) mineralization". Geology, (1996) 259-262.
- [۲۶] Oreskes, N., Hitzman M.W., "A model for the origin of Olympic Dam-type deposits"; in Mineral Deposit Modeling, Kirkham, R.V., Sinclair, W.D., Thorpe, R.I. and Duke, J.M., (eds) Geological Association of Canada, (1993) 615-633.
- [۲۷] Jami, M., Dunlop, A.C, Coheñ D, R., "Fluid inclusion and stable isotope study of the Esfordi apatite-magnetite deposit, Central Iran". Economic Geology, (2007) 1111-1128
- [۲۸] Daliran, F., Stosch, H.-G., Williams, P. "Multistage metasomatism and mineralization at hydrothermal Fe oxide-REE-apatite deposits and "apatites" of the Bafq District, Central-East Iran, in Andrew", C.J. et al., eds, Digging [۵] امینی، ب. " نقشه زمین‌شناسی طارم با مقیاس ۱:۱۰۰۰۰۰ " بازنگری و استاندارد از نقشه هیرایاما و همکاران، سازمان زمین‌شناسی کشور، (۱۳۷۹).
- [۶] نباتیان، ق.، "گانی‌شناسی، ژئوشیمی و ژنر کانسار آهن آپاتیت دار سرخه‌دیزج، جنوب‌شرق زنجان"، پایان‌نامه کارشناسی ارشد، دانشگاه تربیت مدرس (۱۳۷۸).
- [۷] مoid, M. "بررسی پترولوجیکی نوار ولکانو-پلوتونیک ترشیری البرز غربی-آذربایجان با نگرشی ویژه بر منطقه هشت‌جین". رساله دکتری؛ دانشگاه شهید بهشتی (۱۳۸۰).
- [۸] رحمانی، ش.، عابدیان ن.، مختاری س.ع.ا.، "زمین‌شناسی و ژنر کانسارهای اکسیدهای آهن-آپاتیت زون طارم (زنجان)", بیست و سومین گردهمایی علوم زمین، سازمان زمین‌شناسی کشور (۱۳۸۳).
- [۹] Lottermoser B.G., "Rare earth elements and hydrothermal ore formation processes". Ore Geology Review, 1992) 25-41.
- [۱۰] Kerr, ID., "Mineralogy, chemistry and hydrothermal evolution of the Pea Ridge Fe-oxide-REE deposit, Missouri", USA. MSc thesis (unpubl), Univ Windsor, Ontario, (1998) 112p.
- [۱۱] Frietsch, R., Perdahl J.-A., "Rare earth elements in apatite and magnetite in Kiruna-type iron ores and some other iron ore type" Ore Geology Reviews, (1995) 489-510.
- [۱۲] Parak, T., "The origin of the Kiruna iron ores". Sver. Geol. Unders.,(1975) 709, 209.
- [۱۳] Hughes J.M., Cameron, M. Mariano, A.N., "Rare earth elements ordering and structural variation in natural rare earth bearing apatites" Am. Mineral., (1991) 1165-1173.
- [۱۴] Wilson, M., "Igneous petrogenesis, Global tectonic approach," Unwin, Hyman, (1991) 466.
- [۱۵] Hess, P.C., "Origin of igneous rocks". Harvard University Press, (1989) London. 336p.
- [۱۶] Frietsch, R., "On the magmatic origin of iron ores of the Kiruna type", Eco. Geo. (1978) 478-485.
- [۱۷] Ferdholm, K.A., "Bergarter och malmer I Lousavaara och Kirunavaara [RockI and ores at Lousavaara and Kirunavaara]: Geologiska Feroninges I Stockholm Forhanandlingar", (1981) 266-270.
- [۱۸] Appel, P.W.U., "Rare earth element in the early Archaean Isua iron-formation, west Greenland". Precambrian Res., (1983) 243-258.

- [38] Gandhi, S.S., Bell, R.T., "Kiruna/Olympic Dam-type iron, copper, uranium, gold-silver"; in Geology of Canadian Mineral Deposit Types, (ed.) O.R. Eckstrand, W.D. Sinclair, and R.I. Thorpe; geological survey of Canada, Geology of Canada, (1996) 513-522 (also Geological Survey of America, the Geology of North America)
- [39] Gandhi, S.S., "An overview of the Fe oxide-Cu-Au deposits and related deposit types": CIM Montreal 2003 Mining Industry Conference and Exhibition, Canadian Institute of Mining (2003), Technical Paper, CD-ROM.
- [40] Gandhi, S.S., "Magmatic-hydrothermal Fe oxide±Cu±Au deposits: classification for a digital database and an overview of selected districts": IAVCEI General Assembly 2004, Pucon, Chile (2004a), CD-ROM, Abstracts 01a_pt_169.
- [41] Whitford, D.J., Korsch M.J., Porritt P.M. Craven, S.J, "Rare-earth element mobility around the volcanogenic polymetallic massive sulfide deposit at Que River, Tasmania, Australia". Chem. Geol., (1988) 105-119.
- [42] Hunson, G.N., "Rare earth element in petrogenetic studies of igneous system". Ann. Rev. Earth planet. Sci.,(1980) 731-406.
- [43] Streckeisen, A. "Classification and nomenclature of volcanic rocks, lamprophyres, carbonatites and melilitic rocks".(1979).
- [44] Irvine, T.N. Baragar, W.P.A., "A guide to the chemical classification of the common volcanic rocks": Canadian. Jour, of Earth Scien.,(1971)
- [45] Chappell, B.W., White, A.J.R., "Two contrasting granite types".(1974) 46. Cox D. P. (1979)234, 863.
- [47] Naslund, H.R., R. Aguirre, F.M. Dobbs, F.J. Henríquez, J.O. Nyström. "The origin, emplacement, and eruption of ore magmas".(2000).
- [48] Maniar, P.D. Piccoli, P.M. "Tectonic environment of granitoids. Geological Society of America Bulletin", (1989).
- [49] Shand, S.J., "Eruptive Rocks": New York. (1951).
- Deeper, Proceedings of the 9th Biennial SGA Meeting Dublin (2007) 1501-1504.
- [29] Daliran, F., Stosch, H.-G., Williams, P., "Lower Cambrian iron oxide- apatite-REE (U) deposits of the Bafq district, east-central Iran, in Corriveau, L. and Mumin, A.H., eds., Exploring for iron oxide copper-gold deposits: Canada and global analogues": Geological Association of Canada, Mineral Deposits Division Short Courses Volume x,(2008) 143-155.
- [30] Daliran, F., "Kiruna type iron oxide-apatite ores and apatites of the Bafq district, Iran, with an emphasis on the REE geochemistry of their apatites; in Porter, T.M (ed), Hydrothermal iron oxide copper gold and related deposits": A global perspective, v. 2, PGC Publishing, Adelaide, (2002) 303-320.
- [31] Parak, T., Phosphorus in different type of ore, sulfides in the iron deposits, and the type and origin of ores at Kiruna. Econ. Geol. (1985) 646-665.
- [32] Naslund, H.R., Aguirre, R., Dobbs, F.M., W. Henriquez, F., Nystrom, J.O., "The origin in placement and eruption of ore magmas", Internet. (2000).
- [33] Frietsch, R., "On the chemical composition of the ore breccia at Luossavaara, northern Sweden": Mineralium Deposita, (1982) 239-243.
- [34] Lundbohm, H., Backstrom H., "Geology of the Kirunavaara district Geologisks Foreningens Stockholm Forhandlingar", (1989) 63-74.
- [35] Bookstrom, A.A., "Magmatic features of iron ores of the Kiruna-type in Chile and Sweden: ore texture and magnetite geochemistry- A Discussion", Econ. Geol., (1995) 469-472.
- [36] Barton, M.D. Johnson, D.A., "Footprints of Fe-oxide (-Cu-Au) systems". SEG 2004: Predictive Mineral Discovery Under Cover. Centre for Global Metallogeny, Spec. Pub. 33, the University of Western Australia (2004) 112-116.
- [37] Hitzman, M.W. "Iron Oxide-Cu-Au Deposits: What, Where, When and Why"; in Porter, T.M. (ed.), Hydrothermal Iron Oxide Copper-Gold & Related Deposits: A Global Perspective, Australian Mineral Foundation. Adelaide (2000) 9-25.